

**VYSOKÁ ŠKOLA STROJNÍ A TEXTILNÍ V LIBERCI**

Fakulta strojní

Katedra strojírenské metalurgie Školní rok: 1991/92

**ZADÁNÍ DIPLOMOVÉ PRÁCE**

pro **Petra Rakuse**

obor **strojírenská technologie**

Vedoucí katedry Vám ve smyslu zákona č. 172/1990 Sb. o vysokých školách určuje tuto diplomovou práci:

Název tématu: Ověřování kombinovaných skořepinových forem pro výrobu přesných odliteků ze slitin hliníku.

**Zásady pro vypracování:**

1. Seznámení s druhy, složením a vlastnostmi keramických skořepinových forem se zvláštním zaměřením na rozbor pojivového systému při použití netradičních materiálů (lupek, sádra).
2. Seznámení s dosavadními výsledky katedry při vývoji výroby kombinovaných skořepinových forem pro odlevaní Al slitin.
3. Návrh složení a postupu výroby kombinované skořepinové formy na bázi lupku a sádry při využití vhodných úprav složení vazné kapaliny.
4. Hodnocení vlastností kombinovaných skořepinových forem připravených podle navrženého postupu včetně odlití zkušebních odliteků a jejich vyhodnocení.
5. Shrnutí dosažených výsledků a formulace návrhů pro možnost uplatnění kombinovaných skořepinových forem v provozních podmínkách.

VYSOKÁ ŠKOLA STROJNÍ A TEXTILNÍ  
Ostrovského knihovna  
SLOŽENÍČKA 6  
401 17 LIBEREC

KSM/SM

V 33/92S

Rozsah grafických prací: tabulky, grafy, schemata

Rozsah průvodní zprávy: cca 50 stran textu

Seznam odborné literatury:

1. DOŠKÁŘ, J. a kol.: Výroba přesných odliteků . SNTL, Praha 1976.
2. ŠKLENNIK, J.I. a kol.: Litje po vyplavljajemym modeljam. Moskva, 1984.
3. HOLUBEC, Z.: Možnosti výroby odliteků z Al slitin v kombinovaných skořepinových formách na bázi lupku a sádry. VŠST, Liberec 1991.
4. HOLEČEK, P.: Diplomová práce, VŠST 1991.

Vedoucí diplomové práce: Doc. Ing. Zdeněk Holubec, CSc.

Konzultant:

Zadání diplomové práce: 31. 10. 1991

Termín odevzdání diplomové práce: 29. 5. 1992



  
Prof. Ing. Jaroslav Exner, CSc.  
Vedoucí katedry

  
Prof. Ing. Jaroslav Exner, CSc.  
Děkan

V Liberci

dne 14.11. 1991

VYSOKÁ ŠKOLA STROJNÍ A TEXTILNÍ V LIBERCI  
FAKULTA STROJNÍ

Obor 23 - 07 - 8

strojírenská technologie

zaměření

strojírenská metalurgie

katedra strojírenské metalurgie

OVĚŘOVÁNÍ KOMBINOVANÝCH SKOŘEPINOVÝCH FOREM PRO VÝROBU  
PŘESNÝCH ODLITKU ZE SLITIN HLINÍKU

KSM - 409

PETR RAKUS

Vedoucí diplomové práce: Doc.Ing.Zdeněk Holubec Csc.  
VŠST Liberec

Rozsah práce a příloh

Počet stran : 93  
Počet tabulek : 22  
Počet obrázků : 28  
Počet příloh : -  
Počet výkresů : -

UNIVERZITNÍ KNIHOVNA  
TECHNICKÉ UNIVERZITY U LIBERCI



3146075943

V Liberci 10.května 1992

PROHLÁŠENÍ

"Místopřísežně prohlašuji, že jsem diplomovou práci vypracoval samostatně s použitím uvedené literatury."

V Liberci 10. května 1992

Petr Rekl

## CBSAH

## strana

1.	Úvod	8
2.	Technologie přesného lití do keramických skořepinových forem	10
2.1.	Charakteristika metody	10
2.2.	Výroba voskového modelu a sestavení stromečku	10
2.2.1.	Výroba vlastního modelu	10
2.2.2.	Konstrukce modelového stromečku	12
2.2.2.1.	Uspořádání stromečku pro odlévání slitin hliníku	12
2.3.	Obalování stromečku	13
2.3.1.	Postup obalování stromečku	13
2.3.2.	Technika vlastního obalování stromečku	14
2.3.3.	Sušení obalů	14
2.3.4.	Vytavování modelů	15
2.3.5.	Žíhání skořepinových forem	16
2.3.6.	Odlévání slitin do skořepinových forem	17
2.3.7.	Uvolňování odliatku z forem	17
3.	Přehled materiálů pro výrobu keramických skořepinových forem	20
3.1.	Žáruvzdorné materiály /ostřiva/	20
3.1.1.	Materiály s polymorfními přeměnami	23
3.1.2.	Materiály bez polymorfních přeměn	24
3.1.2.1.	Pálené lupky	24
3.1.2.2.	Molochit, syntral	25
3.2.	Pojiva /vazné kapaliny/	26
3.2.1.	Hydrolyzovaný etylsilikát	26
3.2.2.	Podmínky hydrolýzy	27
3.2.3.	Výpočet jednotlivých složek pro přípravu vazné kapaliny na bázi ETS	28
3.3.	Posypové materiály	31
4.	Vlastnosti keramických skořepinových forem	32
4.1.	Pevnost skořepinových forem	32

4.2.	Průdyšnost skořepincových forem	34
4.3.	Tepelná dilatace skořepincové formy	34
4.4.	Vlivy některých činitelů působící na pevnost a průdyšnost skořepincových forem	35
5.	Kombinované skořepincové formy, jejich vlastnosti a možnosti použití při výrobě cdlitků z hliníkových slitin	38
5.1.	Použití keramických forem a forem ze sádrových směsí pro výrobu cdlitků ze slitin hliníku	38
5.2.	Výsledky měření dilatačních vlastností keramických skořepin, forem ze sádrových směsí a kombinovaných skořepin	39
5.3.	Měření pevnosti skořepincových forem	42
5.4.	Shrnutí zkušeností z labcratorní i poloprovozní realizace návrhu kombinované skořepincové formy	45
6.	Návrh slczení a postupu výroby kombinovaných skořepincových forem	46
6.1.	Základní požadavky na řešení	46
6.2.	Ověřované varianty přípravy kombinovaných skořepincových forem	47
6.3.	Slczení sádrové směsi SS-KSM	49
6.4.	Slczení a příprava vazné kapaliny na bázi ETS 40	49
6.5.	Výroba a zpracování kombinované skořepiny	50
6.5.1.	Obalování veskového modelu	50
6.5.2.	Sušení obalů	51
6.5.3.	Oddělování skořepiny od modelu	51
6.5.4.	Žíhání vzorků kombinovaných skořepin	51

7.	Hodnocení pevnosti a dilatačních vlastností kombinovaných skořepin	53
7.1.	Hodnocení pevnosti skořepinových forem v ohybu	53
7.1.1.	Příprava zkušebních vzorků	53
7.1.2.	Stanovení pevnosti v ohybu	55
7.2.	Hodnocení dilatačních vlastností skořepinových forem	61
7.2.1.	Příprava zkušebních tělisek	61
7.2.2.	Postup měření	62
7.2.3.	Stanovení dilatačních vlastností	62
7.3.	Diskuse výsledků měření vlastností kombinovaných skořepin	69
7.3.1.	Pevnostní vlastnosti	69
7.3.2.	Dilatační vlastnosti	70
7.4.	Využití výsledků hodnocení vlastnosti skořepin k návrhu zkušební kombinované skořepinové formy	71
8.	Ověřování kombinované skořepinové formy při odlévání zkušebních odlitků z Al-slitiny	72
8.1.	Výroba voskového stromečku	72
8.2.	Příprava obalových formovacích směsí /břeček/	75
8.3.	Výroba kombinovaných skořepinových forem	76
8.3.1.	Obalování voskových stromečků	76
8.3.2.	Sušení obalů	77
8.3.3.	Vytavování modelů	77
8.3.4.	Žíhání skořepinových forem	77
8.4.	Odlévání	79
8.5.	Vytloukání odlik	79
8.6.	Hodnocení zkušebních odlik	81
8.6.1.	Hodnocení rozměrové přesnosti	81
8.6.2.	Hodnocení jakosti tvarových odlik	89

8.7.	Shrnutí zkušeností z ověřování kombinované skořepinové formy	89
9.	Shrnutí a závěry z provedených prací	91
10.	Závěr	92
11.	Seznam použité literatury	93

## 1. ÚVOD

### Vývoj přesného lití

Umělecká díla zaniklých kultur a národů dokazují, že lití metodou vytavitevního modelu je známo již několik tisíciletí.

Umělecké lití dávnověku je shodné s moderní technologií přesného lití jen v principu, např. v tom, že používal také vytavitevní model na výrobu nedělené formy.

V 19. století, kdy se na výrobu odliatků používaly všeobecně dělené pískové formy, upadla tato metoda téměř v zapomenutí; koncem století se uplatnila výroba forem vytavitevním modelem v zubní technice /korunky, zubní protézy/ a v bižuterii.

Teprve 2. světová válka je nástupem průmyslového využití přesného lití. Ukázalo se, že přes všechna zdokonalení nelze litím do dělených pískových forem vyrábět tvarově velmi složité odliinky s úzkými výrobními tolerancemi a s velkou jakostí povrchu.

Dnes se přesné lití vytavitevním modelem úspěšně využívá v těchto průmyslových odvětvích:

Ve strojírenství, zejména ve výrobě energetických zařízení, v leteckém průmyslu, ve zbrojném průmyslu, v textilním průmyslu, ve výrobě psacích a počítacích zařízení, v elektrotechnice, ve sdělovací technice, v optickém průmyslu, v potravinářství, v lékařství, a konečně i umělecké lití moderní doby využívá pokroku dosaženého v přesném lití vytavitevním modelem.

Jak je patrné, tak se metody přesného lití vytavitevním modelem využívá čím dál více. Roste počet oborů, které využívají této metody a přesných odliatků výrobených těmito technologiemi.

Avšak s rychlým vývojem průmyslu roste i náročnost a složitost přesných odliatků. Zároveň jsou na ně kladený tvrdé požadavky na rozměrovou, tvarovou přesnost, kvalitu povrchu a různé další požadavky.

Proto se hledají a zkoumají různé způsoby výroby přesných odliatků, s čímž je spojen i výzkum materiálů používaných na výrobu forem. Hledají se různé kombinace složení materiálů a kombinace různých druhů materiálů pro výrobu forem.

Jedním takovýmto směrem je cvěřcvání možnosti výroby přesných odliatků v kombinovaných skořepinových formách.

Na tento výzkum navazuje zadání mé diplomové práce. V této práci se zabývám možností výroby přesných odliatků v kombinovaných skořepinových formách na bázi lupku a sádry. Úkolem této práce je bezprostředně navázat na výsledky katedry, zabývající se touto technologií.

Cíl diplomové práce:

Cílem mé diplomové práce je:

1. Návrh složení a postupu výroby kombinované skořepinové formy
2. Ověření vlastností navržených skořepinových forem
3. Odlití zkušebních odlitrků a jejich vyhodnocení
4. Formulace návrhů pro možnost uplatnění kombinovaných skořepinových forem v provozních podmírkách

Tuto prací chci přispět k rozšíření poznatků o této moderní technologii.

## 2. TECHNOLOGIE PŘESNÉHO LITÍ DO KERAMICKÝCH SKOŘEPINOVÝCH FOREM

### 2.1. Charakteristika metody

Tato metoda umožňuje vyrobit odlitky s vysokou rozměrovou a tvarovou přesností, vysokou jakostí povrchu, minimálními přídavky na opracování, odlitky tvarově složité.

Splnění těchto požadavků do značné míry umožňuje použití vytavitevních modelů, pomocí nichž lze vyrobit formy bez dělící roviny.

Vlastní postup výroby odlitků touto slévárenskou technologií z následujících operací:

- a/výroba voskových modelů a sestavení stromečku
- b/výroba skořepinové formy obalováním stromečku v keramické kašovité směsi
- c/vytavení modelů
- d/žíhání forem
- e/odlévání
- f/vytloukání odlitků z forem
- g/konečná úprava odlitků

Tato metoda umožňuje výrobu odlitků z různých slitin jen železa tak neželezných kovů.

### 2.2. Výroba voskového modelu a sestavení stromečku

#### 2.2.1. Výroba vlastního modelu

Na voskové modely jsou kladený tyto požadavky:

- malá smrštitelnost a nízká roztažnost za vyšších teplot z důvodu neporušení formy při vytavování
- stabilita, pevnost a tvrdost k omezení deformací při změnách teploty
- dostatečná pružnost a odolnost proti otěru

- přesná reprodukovatelnost dutiny modelové formy
- neleplivost na stěny keramických modelových forem
- snadná vyjmívatelnost z formy
- co nejmenší zbytky vosku po vytavení ze skořepiny
- nízký obsah popela
- odolnost vůči působení obalových hmot
- žádoucí viskozita
- odolnost proti oxidaci

Z uvedeného je zřejmé, že žádný jednoduchý vosk nemůže splnit najednou všechny výše uvedené požadavky. Z tohoto důvodu se používají voskové směsi sestávající z kombinace různých vosků. Jako příklad složení voskové modelové hmoty lze uvést směs:

50 %....parafin R48/50  
40 %....stearin technický A  
8 %....ceresin žlutý Z45/56  
2 %....montánní vosk

#### Příprava voskové hmoty

Suroviny se taví v duplikátovém kotli ve vodní lázni s regulací teploty /max. 90°C/. Nejdříve se taví surovina s nižším bodem skápnutí, pak postupně ostatní. Hmota se zahřívá do odpaření vody, která je v ní obsažená /hmota přestane pěnit a prskat/. Po vytemperování na teplotu 70-80°C a odstátí se přidává do regenerované vrtné hmoty.

#### Regenerace vrtné modelové hmoty

Po vytavení vosku z keramické formy se tento zahřívá na 110°C až do odpaření vody. Teplota nemá překročit 120°C, protože vosková hmota pak oxiduje, tmavne, měkne a stává se lepivou.

## Výroba vytavitevních modelů

Používá se regenerovaná hmota s 10 % nové modelové hmoty. Taví se v duplikátovém kotli a udržuje se na teplotě 70-80 C. Modelová hmota se dávkuje do vstřikovacího zařízení /např. UP 11/, kde se v míchačce zamíchá s cca 10 % vzduchu a vytvoří se napěněná modelová hmota, ta se tlakovým vzduchem přepustí do vedlejší nádoby, odkud je vstřikovací hubicí vstříknuta do formy. Napěněná pastovitá hmota se udržuje při teplotě 48-50 C pomocí teplé vody. Jako dělící prostředek se používá dibutylftalát. Formy se používají ocelové nebo ze slitin hliníku. Odlité hmoty se vyjmají z formy pomocí vyhazovače, hrotují se a opravují drobné závady. Složité dělené modely se spojují zatavením horkou špachtlí.

### 2.2.2. Konstrukce modelového stromečku

Hotové modely se sestavují do stromečku zatavením na vtokovou scustavu. Současně při návrhu tvaru voskového stromečku se musí vycházet i z poznatků v optimálním plnění formy, usměrnění tuhnutí a dalších aspektů slévárenské technologie. Tyto parametry jsou závislé na druhu odlévaného kovu.

#### 2.2.2.1. Uspořádání stromečku pro odlévání slitin Al

Lití odliatků ze slitin hliníku má v porovnání s litím ocelových odliatků zvýšené požadavky na klidné plnění forem. Je to dáno značným sklonem hliníkových slitin k pěnění při lití a dále k tvoření nerozpustného oxidu hlinitého. Při malém rozdílu měrné hmotnosti oxidu hlinitého a hliníkové slitiny se  $Al_2O_3$  mechanicky zamíchá v tavenině, dostane se do odliatu a zhorší mechanické, slévárenské vlastnosti a opracovatelnost řeznými nástroji /v případě dalšího opracování/.

Vtoková scustava má zajistit:

- a/klidné plnění formy tekutým kovem bez tvoréni víru, pěnění a přílišného snížení licí teploty
- b/dokonalé vyplnění formy bez narušení jejich stěn

c/neměnnost vlastností slévaného kovu  
d/usměrněnost tuhnutí odlitku ve formě,  
zamezení stažení, ředin a pod., jak již bylo výše nazna-  
čeno.

Pro hliníkové slitiny je nejvhodnější  
rozšiřující se vtoková soustava, kde plocha průřezů zá-  
řezů je větší než plocha průřezu doplňující soustavy,  
která je pak větší než plocha průřezu vtokového kúlu.

Doporučený poměr :

$$S_k : S_s : S_z = 1 : 1,1 : 1,5$$

$S_k$  .... plocha průřezu licího kúlu

$S_s$  .... plocha průřezu doplňujícího kanálu

$S_z$  .... celková plocha průřezů zářezů odlitku  
/u standarterních stromečků součet plochy  
průřezů a zářezů odlitku v jedné etáži/

Rozšiřující se soustava zajišťuje plynulé plnění formy  
bez již výše popsáného tvoření pěny.

Na jednotlivé části vtokové soustavy se modely připojují  
pájením /nejčastěji elektrickou odporevnou páječkou/.

### 2.3. Obalování stromečku

#### 2.3.1. Postup obalování stromečku

Stromeček se postupně namáčí do obalové břečky  
připravené z vazné kapaliny /viz.kap. 6.4/ a mletého  
žáruvzdorného cstríva, načež se posypává žáruvzdorným ma-  
teriálem. Jednotlivé vrstvy se musí nechat dokonale vy-  
schnout. Postup se opakuje tolikrát, až má obal požadovanou  
tloušťku na níž záleží pevnost skořepiny a její rozměro-  
vá stálost. Počet obalů může být v rozmezí 3-10, obvykle  
však 5 obalů.

Na první obal se jako posyp volí písek jemnější  
frakce /do 0,5 mm/, na další obaly hrubší frakce /okolo  
1 mm/

Před obalováním je nutné odstranit z povrchu voskového stromečku zbytky dělícího prostředku, jinak první obal dokonale nepřilne. Proto se omyje stromeček v benzínu a po osušení případně ještě v alkoholu. Též je možno před prvním namočením v břečce stromeček ponořit přímo ve vazné kapalině z důvodu lepší přilnavosti na vosk.

### 2.3.2. Technika vlastního obalování stromečku

Voskové stromečky zbavené nečistot a vytemperované na teplotu pracoviště se namočí do obalovací kaševité hmoty /břečky/, jejíž vizkozita má předepsanu hodnotu : pro první obal se volí 50-60 sec. pro Fordův pohárek  $\phi d=6\text{mm}$ , pro další obaly 45-50 sec.

Stromečky se namáčejí pomalým ponořením, při současném otáčení a naklánění tak, aby obalová hmota stromeček rovnoměrně pokryla a aby se nevytvorily vzduchové polštáře, či zde neulpěly bubliny.

Stromeček se vyjmé z břečky v okamžiku, kdy se přestancu vylučovat vzduchové bubliny, a nechá se okapat přebytečná břečka.

Posypávání se provádělo původně gravitačně v proudu volně padajícího materiálu. Tento způsob je dnes nahrazen fluidním posypáváním, tj. ponořením namočeného stromečku do vzduchem zčeřeného posypového materiálu. Tento způsob zaručuje rovnoměrnější posyp.

### 2.3.3. Sušení obalů

Sušení obalů je jednou z nejdůležitějších operací, která ovlivňuje postup vytvrzování keramické formovací směsi v jednotlivých obalech.

Mechanismus tuhnutí keramického obalu spočívá buď v odpaření disperzního prostředí z kapalného pojídla, které vyvolá stavovci změnu solu v gel, nebo vyvoláním této změny chemickými činidly a teprve pak odpařením

disperzního prostředí z pojídla. Koloidní částice solů se snaží zaujmout polohu nejménší energie, odpařováním disperzního prostředí se koloidní částice přibližují. Jakmile zaujmou polohu nejmenší energie, klesne potenciál elektrické dvojvrstvy na tzv. kritickou hodnotu a sol se hned mění v gel. To je podstatou tvrdnutí obalů sušením.

Vzniklý gel je tvořen velmi jemnou strukturou molekul kyseliny křemičité a křemičitými zrny. Pojivovaly je tedy vyvolán souvislou vrstvičkou oxidu křemičitého na zrnech žáruvzdorného materiálu. Vazná vrstvička má amorfí strukturu.

Nejčastější způsoby sušení jsou:

- a/ v prostředí vzduch - páry amoniaku
- b/ v prostředí vlhký vzduch
- c/ v prostředí suchý vzduch

Rychlosť schnutí obalů ovlivňují tyto faktory:

- 1/ Těkavost disperzního prostředí vazné kapaliny, z níž byla obalová hmota připravena.
- 2/ Koncentrace koloidní disperze  $\text{SiO}_2$  i jeho hydrátů v tekutém pojidle.
- 3/ Klimatické podmínky v sušícím prostředí
- 4/ Velikost zrna posypového materiálu

2.3.4. Vytavování modelů

Po nanesení posledního obalu a dokonalém usušení skořepiny se z ní musí vytavitelný, nejčastěji voskový model odstranit.

Vytavování modelu se provádí několika způsoby:

a/ Vytavování za vysoké teploty

Obalené stromečky se vloží do pece vyhřáté na teplotu nejméně  $750^\circ\text{C}$ , jako pracovní teplota se uvádí  $900-1100^\circ\text{C}$ , takže se spojí vytavení modelové hmoty s vyzářením skořepiny.

b/ Vytavování za nízké teploty

- v roztavené hmotě stejného složení  
jako má hmota modelů, ohřátá na teplotu 2x vyšší než je  
její teplota tavení  
- v lázni z nízkotavitelné slitiny, např.  
slitiny cínu, antimonu, vizmutu  
- ve vroucí vodě

c/ Vytavování v autoklávu

V současné době se většinou přechází od vytavování modelů v horké vodě k vytavování v syté vodní páře v tlakových nádobách. Tlak páry se pohybuje v rozmezí 0,3-0,6 MPa při teplotě 135 - 165°C.

d/ Vytavování dielektrickým ohřevem

Skořepiny se zvlhčí vodou a umístí se v poli vysokofrekvenčních oscilací. Vlhká skořepina se rychle ohřeje, vosk těsně u skořepiny se odtaví a vytvoří se dilatační spára, která umožní rozpínání vosku bez popraskání skořepiny.

e/ Vytavování horkým vzduchem

Proud horkého vzduchu se vede do středu vtckového kúlu voskového stromečku, který se tak protáví dřív než se ohřeje celý model odtavený z vnitřku. Zabrání se tím dilataci modelu a potrhání skořepiny.

### 2.3.5. Žíhání skořepinových forem

Při žíhání se převede amorfni forma vazné vrstvičky  $\text{SiO}_2$  na formu krystalickou a odstraní se všechny těkavé látky /zbytky vosku/.

K žíhání skořepin se u nás používají nejčastěji elektrické odporové pece. Teploty se od uložení skořepiny

do pece až po konečnou teplotu žíhání řídí druhem skořepiny a cdlévaným materiálem.

Skořepiny o nízkém koeficientu tepelné roztažnosti, které neprochází při ohřevu polymorfními přeměnami, snášeji tepelné rázy a mohou se vkládat do pece již vyhřáté na vyšší teploty. Musí však být dostatečně vysušeny. Jde o skořepiny na bázi lupku, molochitu, atd.

Naproti tomu skořepiny z křemenného materiálu vyžadují pomalejší ohřev a opatrné ohřívání v oblasti pevné krystalické přeměny / $573^{\circ}\text{C}$ / . Tato překrystalizace by mohla při prudkém ohřevu přes teplotu polymorfní přeměny vyvolat popraskání formy.

#### 2.3.6. Odlévání slitin do skořepinových forem

Odlévání taveniny se provádí nejčastěji do forem předehřátých předchozím žíháním, z důvodu omezení tepelného šoku formy, při němž by mohlo dojít k porušení formy. Minimální teplota formy z křemenných materiálů před litím by měla činit  $600^{\circ}\text{C}$ .

Jedná-li se o zasypanou skořepinu provádí se žíhání skořepiny již v zásypu.

Při odlévání do skořepin s nekřemenným ostřivem lze tuto teplotu snížit.

#### 2.3.7. Uvolňování odlitků z forem

Uvolňování odlitků ze skořepin záleží na tvaru odlitků a jejich sestavě na stromečku.

Často stačí údery ručním kladivem na vtokovou soustavu; velmi se však osvědčilo mechanizované zařízení s vibračním kladivem.

Po předběžném hrubém odstranění keramického obalu následuje odstranění zbytků keramiky - čištění. Odliktky se čistí chemicky nebo mechanicky.

##### 1/ Chemické čištění

a/ loužení odliktů v tavenině NaOH

- b/ loužení odlitků v roztocích hydroxidů
- c/ čištění v kyselých lázních

Chemické způsoby odstraňování keramiky z přesných odlitků mají tyto výhody a nedostatky.

Výhody: - umožňují odstranit keramiku z těžko přístupných míst, kde by se s mechanickým způsobem nevystačilo

- mořený odlitek má hladší povrch, který je měkkčí než otryskaný
- póry, trhliny a jiné vadu odlitků jsou dobře rozeznatelné, kdežto po otryskání se zjišťují obtížně
- zároveň s keramikou se odstraní v některých případech i okuje
- ubytka materiálu je menší než při otryskání

Nedostatky :

- rozpuštění keramiky ve vodních roztocích alkalií nebo kyselin probíhá pomalu a odlitky se musí dočišťovat mechanicky
- zbytky lázní z pórů odlitků se špatně odstraňují a hrozí nebezpečí pozdějšího zkoroďování odlitku
- všechny způsoby chemického čištění jsou náročné na vybavení pracoviště i na dodržování zásad bezpečnosti práce

## 2/ Mechanické čištění odlitků

- a/ omílání - tento způsob se v praxi neujal
- b/ tryskání - při této metodě se využívá kinetické energie proudu kovové drti. Během této operace lze vytvořit povrch o požadované hrubosti - drsnosti povrchu. Toto je závislé na hrubosti tryskacího materiálu.

### Čištění odlitků z neželezných slitin

Zbytky keramické formy se dají ze slitin Cu,

Zn, Al, apod. dají odstranit prakticky jen otryskáváním drtí vápence , zirkonu nebo drtí z plastických nebo jiných měkkčích hmot, a to jen nízkým tlakem vzduchu;

Po tomto stručném přehledu postupu výroby odlitků v keramických skořepinových formách se v další kapitole podrobně zaměřím na jednotlivé složky keramických formovacích směsí, jejich vlastnosti a jejich vliv na způsob přípravy skořepinových forem.

3.

### PŘEHLED MATERIÁLU PRO VÝROBU KERAMICKÝCH SKOŘEPINOVÝCH FOREM /1,2,3/

3.1.

#### Žáruvzdorné materiály /ostřiva/

Vývoj v přesném lití metodou vytavitelného modelu směruje k výrobě větších odliteků z materiálů o vysokém bodu tavení, velmi často z řady nejnovějších žárupevných slitin, které se tavi a lijí stále se zdokonalující vakuovou technikou. Tento vývoj vyžaduje formovací hmoty, z nichž lze vyrobit skořepiny o vysoké pevnosti a únosnosti v žáru, které nereagují s vlévanými slitinami a minimálně se objemově mění během výrobního procesu a mají vyhovující prodyšnost.

Skořepiny s nízkou pevností a únosností v žáru jsou vhodné na výrobu drobných a lehkých odliteků. Při větším objemu kovu skořepina v důsledku vyšší tepelné kapacity měkne a deformuje se. Výsledkem je zdeformovaný odlitek. Jinak může při velké hmotě odlitku kov také pronikat do stěn skořepiny a odlitek bude pro špatnou kvalitu povrchu nepotřebný. Skořepiny s nízkou pevností jsou snadno erodovány vlévaným kovem a jejich uvolněné částečky mohou být příčinou zadrobených odlitků.

Nejsou-li skořepiny netečné vůči vlévanému kovu a kovovým oxidům, jsou vzniklé reakční produkty také příčinou nekvalitního odlitku.

Skořepiny se strmou expansní křivkou nedovolují výrobu odliteků s úzkými rozměrovými tolerancemi; takové skořepiny se musí žíhat velmi opatrně, jinak popraskají, mají nízkou prodyšnost a jsou někdy i drobivé. Při lití do málo prodyšných forem, za normálních atmosférických podmínek, nemohou plyny z roztaveného kovu a uzavřený vzduch uniknout stěnami skořepiny, kov nemůže dokonale formu vyplnit a odlitky budou nezaběhlé, se špatnou jakości povrchu.

Základní vlastnosti skořepin, jako je žáruvzdornost,

tepelná roztažnost a netečnost vůči vlévanému kovu, jsou určeny především charakterem žáruvzdorného materiálu v obalové hmotě, méně již kapalným pojivem. Proto jsou pro výběr vhodného materiálu směrodatné tyto ukazatele:

- 1/ bod tavení
- 2/ tepelná roztažnost
- 3/ netečnost vůči vlévanému kovu

Jako žáruvzdorné materiály na výrobu skřepin se používají oxidy, křemičitany, hlinitany, silicidy, karbidy, boridy, nitridy i intermetalické sloučeniny.

Poněvadž však vedle uvedených materiálových vlastností je nutné, aby vhodný žáruvzdorný materiál byl k dispozici v dostatečném množství, a aby měl pro účely přesného lití vyhovující zrnitost a přijatelnou cenu, redukuje se jejich řada jen na některé oxidy a křemičitany.

Tabulka 3-1: Vlastnosti oxidů

oxidy	měr.hmot./kgdm <sup>-3</sup>	tep.roztaž. 300-1000 °C	bod tavení [°C]
SiO <sub>2</sub>	2,65	1,54	1560
TiO <sub>2</sub>	4,25	0,25 - 0,92	1820
Al <sub>2</sub> O <sub>3</sub>	4,00	0,21 - 0,97	2040
ZrO <sub>2</sub>	5,70	0,21 - 1,10	2715
BeO	3,00	0,21 - 1,00	2750
MgO	3,60	0,25 - 1,45	2800

Měrné hmotnosti uvedené v tab.3-1 nerozhodují o základních vlastnostech skořepiny, pouze o rozdílu její hmotnosti. Mají však význam pro výrobce přesných odlitrků, protože určují stabilitu obalových hmot. Rychle sedimentující formovací hmota působí potíže v provozu, a proto je výhodnější žáruvzdorný materiál s nízkou měrnou hmotností. Z tabulky vyplývá, že pro výrobu keramických skořepin vyhovují SiO<sub>2</sub>, Al<sub>2</sub>O<sub>3</sub>, ZrO<sub>2</sub>, BeO.

$\text{BeO}$  je však velmi toxickej. Proto se využívá jen pro speciální účely.  $\text{ZrO}_2$  musí být stabilizován oxidy některých kovů, aby měl vyhovující roztažnost.

Křemičitany, které se používají jako surovina pro keramické výrobky jsou zahrnuty v tab. 3-2. Z tabulky je vidět, že zejména z hlediska tepelné dilatace vyhovuje z řady křemičitanů jen mullita zirkon. Sillimanit je velmi vhodný materiál na výrobu forem pro přesné lití neželeznych kovů a jejich slitin.

Tabulka 3-2 : Křemičitany, které se používají jako surovina pro keramické výrobky

materiál	bod tavení [°C]	teoretická měr. hmotnost [g/cm <sup>3</sup> ]	tepelná roztaž. [%]
Cordierit $(2\text{MgO} \cdot \text{SiO}_2)$	1470	2,5	0,08-0,3
Forsterit $(2\text{MgO} \cdot \text{SiO}_2)$	1910	-	1,2
Sillimanit $(\text{Al}_2\text{O}_3 \cdot \text{SiO}_2)$	1545 <sup>+</sup>	3,25	0,43
Mullit $(3\text{Al}_2\text{O}_3 \cdot 2\text{SiO}_2)$	1855	-	0,16-0,55
Spinel $(\text{MgO} \cdot \text{Al}_2\text{O}_3)$	2050	3,6	0,97
Steatit $(\text{MgO} \cdot \text{SiO}_2)$	1545	-	1,1
Zirkon $(\text{ZrSiO}_4)$	2095	4,7	0,16-0,63

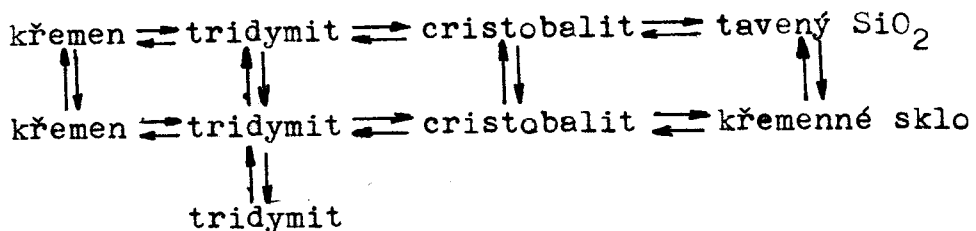
+ Nejde o tavení v pravém slova smyslu, ale o přeměnu na krystalický mullit / $3\text{Al}_2\text{O}_3 \cdot 2\text{SiO}_2$ / a sklovitě tekoucí fázi bohatou na  $\text{SiO}_2$ .

### 3.1.1. Materiály s polymorfními přeměnami

Z hodnot uvedených v tab.3-1 vyplývají především určitá omezení pro použití křemene jako ostřiva keramických formovacích směsí. Má nižší žáruvzdornost, proto je jeho použití omezeno do teplot 1540°C, a vysoký koeficient tepelné roztažnosti. Kromě toho prodélává několik krystalografických přeměn spjatých s náhlými objemovými změnami.

Základní a nejrozšířenější forma křemene je -křemen. Tento je stálý při normálních teplotách. Při teplotě 573°C se přeměnuje na -křemen. Tato modifikace  $\text{SiC}_2$  je stálá v oblasti teplot 573-870°C.

Polymorfie  $\text{SiO}_2$  má složitý charakter. V některých teplotních oblastech může existovat i několik modifikací. Mechanismus těchto přeměn je schématicky znázorněn následovně :



Vodorovnými šipkami jsou vyznačeny směry přeměn, které probíhají při ohřevu nebo při ochlazování.++ Svislé šipky označují rychlé přeměny, které při ohřevu nebo při ochlazování.

++Probíhají pomalu, jen při zvláštních podmínkách.

Nejzávažnější důsledky těchto polymorfních přeměn ovlivňujících vlastnosti formovacích směsí jsou změny měrné hmotnosti a již zmíněné změny objemu vyplývající z roztažnosti křemenných zrn při ohřevu povrchových vrstev formy. Ty mohou způsobit popraskání vlastní skořepiny.

### 3.1.2. Materiály bez polymorfních přeměn

Z technické literatury i z praktického používání ve slévárnách přesného lití je známá řada materiálů bez polymorfních přeměn jako např. tavený křemen /křemenné sklo/, pálený kaolín /prodávaný jako molochit - dovoz z Anglie, syntral - výrobek ČSFR/, korund, zirkon.

Z molochitu, respektive syntralu, lze vyrobit skořepinu s pevností  $R_{mo} = 3 - 6 \text{ MPa}$ . Pokud je však pevnost skořepinové formy vyšší jak 2 MPa, pak se to odráží v jejím obtížném odstraňování z dutin, žeber, apod.

Tuto operaci lze částečně zmechanizovat otryskáváním ocelovou drtí, což však zhoršuje kvalitu povrchu odlitku. Tato nevýhoda spolu s vysokou cenou jsou důvodem, proč v a.s. MESIT - Uherské Hradiště byl zahájen vývoj samonosné skořepiny na bázi tuzemského lupku./5/

#### 3.1.2.1. Pálené lupky

Jedná se o šamotové ostřivo, které neprodělává polymorfní přeměny a je cenově výhodné. Skládá se z  $\text{SiO}_2$  a nejméně 30 %  $\text{Al}_2\text{O}_3$ , všechny ostatní příměsi jsou pokládány za znečišťující a jejich množství závisí na čistotě výchozích surovin.

Změnám poměru  $\text{SiO}_2$  a  $\text{Al}_2\text{O}_3$  odpovídají fázové změny a tím i vlastnosti hmoty.

Chemické složení a fyzikální vlastnosti stanovuje norma ČSN 72 13 00 - pálené lupky. Slévárenské lupky jsou dodávány v C 342 HR.

#### Chemické složení pálených lupků:

Al <sub>2</sub> O <sub>3</sub>	35 - 42%
Ti O <sub>2</sub>	1,2 - 2,5%
Fe <sub>2</sub> O <sub>3</sub>	1,5 - 3 %
Ca+Mg	asi 1 %
alkálie	asi 0,5%
Si O <sub>2</sub>	zbytek do 100 %

Pálené lupky mají nižší teplotní dilatace než u křemenne a je srovnatelná s již dříve uvedenými materiály /molochit, atd./

#### 3.1.2.2. Molochit, syntral

Jde o pálený kaolin /mullit/, jehož chemické složení je : SiO<sub>2</sub>+Al<sub>2</sub>O<sub>3</sub>+Fe<sub>2</sub>O<sub>3</sub>+TiO<sub>2</sub>+CaO+MgO+K<sub>2</sub>O+Na<sub>2</sub>O

Molochit /syntral/ je v podstatě mullit s jednotlivými částicemi v obálce amorfního SiO<sub>2</sub>.

Chemické složení syntralu /Západočeské keramické závody n.p. Horní Bříza/, respektive molochitu 200 /Velká Británie/:

ztráty žíháním	0,86% respektive 0,21%
SiO <sub>2</sub>	55,8 %
Al <sub>2</sub> O <sub>3</sub>	38,74 %
Fe <sub>2</sub> O <sub>3</sub>	0,96 %
TiO <sub>2</sub>	1,04 %
CaO	0,49 %
MgO	0,29 %
K <sub>2</sub> O	1,5 %
Na <sub>2</sub> O	0,15 %

Po zhodnocení uvedených poznatků a s přihlédnutím

tím k zaměření práce na keramické formy pro odlévání sli-tin neželezných kovů /v úzké součinnosti se slévárnou přesného lití a.s. MESIT -Uherské Hradiště/ se dále zaměruji na použití molochitu , páleného lupku a v malém rozsahu mletého křemene.

### 3.2. Pojiva /vazné kapaliny/

Pojivo /vazná kapalina/ spolu se žáruvzdorným materiálem, jež je v něm rozptýlen, tvoří vlastní kašovitou směs /břečka/ do níž se namáčejí voskové modely. Pojivo musí mít tyto základní vlastnosti :

- a/ nesmí snižovat žáruvzdornost formy a musí být netečné při žíhání formy k žáruvzdornému materiálu a při odlévání k roztavenému kovu
- b/ musí dát formě po ztuhnutí dostatečnou pevnost jak po vysušení, tak po vyžíhání.

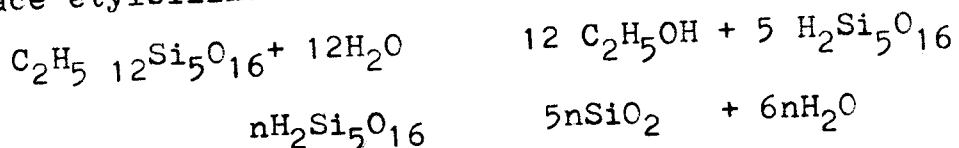
Jako pojiva formovacích hmot na skořepinové formy se používají především koloidní roztoky  $\text{SiO}_2$ . Nejběžněji používaným pojivem je hydrolyzovaný etylsilikát.

#### 3.2.1. Hydrolyzovaný etylsilikát

Polymerní etoxypolysiloxany s obsahem 40%  $\text{SiO}_2$ , které se běžně používají pro přípravu kapalných pojiv, jsou směsi etoxyskupin, v níž převažuje dodekaetoxypentasiloxan. Prodávají se pod obchodním označením ETYLSILIKÁT 40, SILESTER 0, DYNASIL 40, atd. V této podobě jsou poměrně stále skladovatelné. Jejich alkoholický roztok dává s vodou a vhodným hydrolizačním katalyzátorem velmi stabilní kapalné pojivo.

Při hydrolytickém štěpení etoxypolysiloxanu /hydrolyze etylsilikátu 40/ vznikají molekuly kyseliny polykřemičité a celý systém se chová navenek jako alkoholický koloidní roztok  $\text{SiO}_2$  /alkosol/.

Hydrolýza a s ní současně probíhající dehydratace etylsilikátu 40 :



Obsah  $\text{SiO}_2$  v solu se pohybuje obvykle mezi 10 - 20%. Stabilita solů je omezená, časem přechází v gel, což spočívá v seskupování částic. Tento pochod je principem vytvárování směsí.

### 3.2.2. Podmínky hydrolýzy

#### a/ vliv katalyzátoru

Etylsilikát 40 není ve vodě rozpustný, je však rozpustný v alkoholu, stejně jako voda. Hydrolýza probíhá v přítomnosti katalyzátoru. Nejčastěji se používají kysele katalyzátory / $\text{HCl}, \text{H}_2\text{SO}_4$ /, zřídka alkalické.

Množství katalyzátoru, rychlosť přidávání /rozředěno destilovanou vodou/ a teplota hydrolyzujícího systému ovlivňují charakter kapalného pojiva. V silně zreagované etoxyskupiny zůstávají delší dobu nedehydrtované. V roztoku jsou polymerové molekuly, dosahující 4 OH skupin a 7 atomů Si. Při nižší koncentraci se poměr snižuje na 2 skupiny OH a 7 atomů Si, atd.

Rychlým růstem molekul a disperzní fáze mohou být OH skupiny uzavřeny do nitra obrovité trojzřídké molekuly, uzavřené polymerovými řetězy.

V slabě kyselém prostředí je dehydratace úplná.

#### b/ stupeň hydrolýzy

Je dán množstvím použité vody na hydrolýzu. Poměr mezi množstvím použité vody a množstvím etylsilikátu

se pohybuje od 9,5 - 26 %. Použitím většího množství vody než je nutné k rozštěpení molekul etoxypolysiloxanů vzniknou soly ve smíšeném prostředí, což se projeví pomalejším schnutím, nižší pevností obalů a zkráccním životnosti pojiva.

c/ vliv teploty

Teplota rozhoduje o životnosti a vlastnostech alkosolů  $\text{SiO}_2$  a jeho hydrátů. Se vzrůstající teplotou se zkracuje doba přeměny solu v gel a snižuje se životnost vazné kapaliny. Teplota nemá při hydrolyze překročit  $40^\circ\text{C}$ . Probíhá-li však hydrolyza při nízké teplotě, nenastane gelace ani po dlouhé době /samovolně/.

d/ konzentrace  $\text{SiO}_2$  v etylsilikátu

Se stoupající koncentrací  $\text{SiO}_2$  v etylsilikátu vzrůstá i rychlosť hydrolyzy, zároveň stoupá i teplota hydrolyzátu. Nadměrná rychlosť hydrolyzy je přičinou nedokonalé dehydratace, podobně jako v případě vysoké koncentrace katalyzátoru.

Jak již bylo uvedeno, dodávané etylsilikáty obsahují kolem 40 %  $\text{SiO}_2$ .

3.2.3. Výpočet jednotlivých složek pro přípravu vazné kapaliny na bázi ETS /3/

V citované literatuře jsem získal postup pro výpočtovou přípravu hydrolyzy ETS, který v této práci uvádím jednak pro doplnění poznatků, jednak pro možnost posouzení konkrétních používaných postupů hydrolyzy. Obvykle se určuje množství pro přípravu vazné kapaliny z 1 kg ETS :

voda - X /kg/, /l/, ,/ml/  
rozpuštědlo - R /kg/, /l/, ,/ml/  
HCl - K /ml/

Nezbytné předpoklady pro výpočet:

a/způsob sušení obalů

I. voda - sušení v prostředí : vzduch - páry amoniaku

II. voda - sušení v prostředí : vlhký vzduch

III. voda - sušení v prostředí : suchý vzduch

/obr. 3-1/

b/potřebná pevnost obalů /skořepiny/

c/skutečný obsah  $\text{SiO}_2$  v ETS

d/obsah etoxy skupin, HCl v ETS

Hodnota  $m = \frac{\text{H}_2\text{O}}{\text{C}_2\text{H}_5\text{OH}}$  se volí v závislosti na způsobu sušení

$$\text{I. } m = 0,25 - 0,35$$

$$\text{II. } m = 0,6 - 0,7$$

$$\text{III. } m = 1,0$$

-1. Určení množství vody X :

a/ pomocí nomogramu - množství vody na levé stupnici

$$\text{b/ výpočtem} - X = 0,004 \cdot a \cdot m \quad (3-1)$$

kde a . . . . obsah etoxy skupin v ETS [%]

m . . . . množství molů vody na 1 etoxy skupinu

-2. Určení množství rozpuštědla - ředitla R :

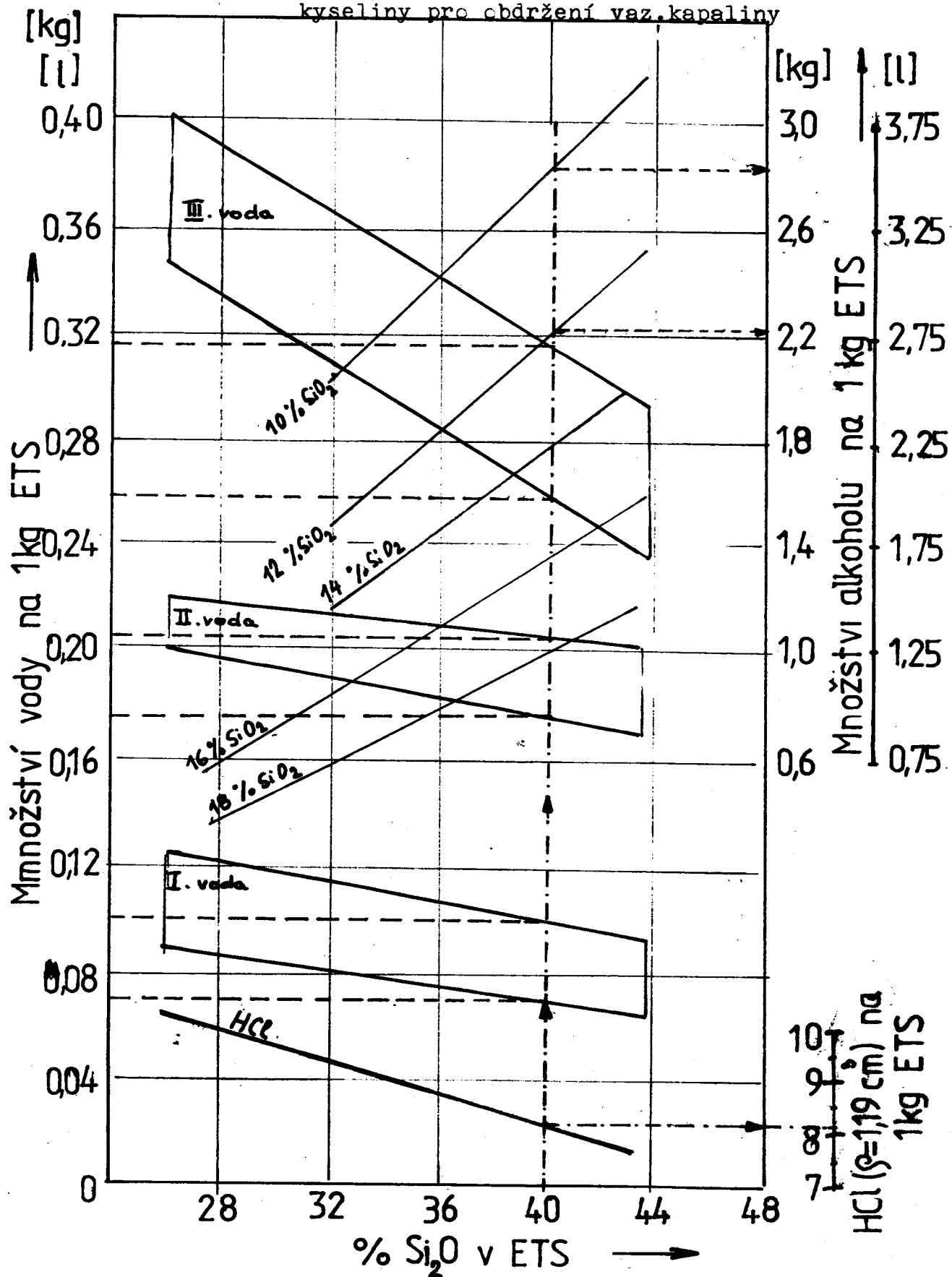
vychází se ze stanovení konečného obsahu  $\text{SiO}_2$  v hotové vazné kapalině - na stupnici vpravo u nomogramu, od průsečíku na přímce pro příslušný obsah  $\text{SiO}_2$  ve vazné kapalině

-výpočtem :

$$R = \frac{\text{SiO}_2(\text{ETS})}{\text{SiO}_2(\text{vaz.kap.})} - (1 + X) \quad (3-2)$$

kde  $\text{SiO}_2$  ETS . . . . obsah  $\text{SiO}_2$  v ETS [%]

Obrázek 3-1 : Ncmogram stanovení alkoholu, vody a kyseliny pro obdržení vaz.kapaliny



$\text{SiC}_2$  vaz. kap. . . . . obsah  $\text{SiC}_2$  ve vazné kapalině [%]

X . . . . . množství vody stanovené předchozím výpočtem [kg]

Poznámka : Při konečném určení množství rozpouštědla je nutno vzít v úvahu obsah vody v něm a pomocí toho upravit obsah vody pro hydrolýzu ETS

### - 3. Určení množství kyseliny HCl - K :

a/ pomocí nomogramu :

od průsečíku na přímce HCl - na dolní stupnici vpravo kyseliny =  $1,19 \text{ g.cm}^{-3}$

b/ výpočtem :  $K = 0,114 \cdot a$  (3 - 3)

### 3.3. Posypové materiály

Jsou součástí při tvorbě skořepiny po nanesení vrstvy keramické obalové směsi na model, případně na předchozí keramický obal. Jejich účelem je zabránit stekání nanesené vrstvy kašovité směsi, ovlivnit mechanické a technologické vlastnosti skořepiny /pevnost, prodyšnost/ i její celkovou tlcušťku.

Nejčastěji se používají zrnité materiály - křemen, molochit, případně lupek. Jejich zrnitost se volí podle pořadí vytvářeného obalu.

Na první obal posyp zrnitosti do 0,3 mm

Na další obaly posyp zrnitosti od 0,5 do 1,0 mm

O některých dalších netradičních materiálech pro výrobu skořepinové formy, především kombinovaných, bude pojednáno v dalších kapitolách mé práce.

#### 4. VLASTNOSTI KERAMICKÝCH SKOŘEPINOVÝCH FOREM /2,3/

Vlastnosti materiálů na výrobu forem ovlivňují vlastnosti připravené keramické skořepinové formy v jednotlivých fázích její výroby a použití, jejichž odchylky od předepsaných hodnot jsou v přímé souvislosti s potížemi ve výrobě.

K základním vlastnostem patří:

- pevnost vysušené skořepiny v ohybu - určuje její spolehlivost při manipulaci s ní,
- pevnost vyžíhané skořepiny - určuje přípustný hydrostatický tlak litého kovu, s čímž souvisí i rozměry a hmotnost odlitku,
- prodyšnost - rozhoduje o povrchové kvalitě odlitku a dokonalém vyplnění formy kovem,
- tepelná dilatace skořepinové formy jako celku
  - je důležitou hodnotou proto, že objemové změny skořepin ve výrobě ovlivňují výslednou přesnost odlitků.

##### 4.1. Pevnost skořepinových forem

Ve ztuhlé skořepinové formě následkem dilatace modelů, a také při vytavování nebo při vyžíhání, vznikají napětí tahová, tlaková, ohybová, kluzová. Jestliže tato napětí dosáhnou meze pevnosti skořepiny, tak se v ní objeví praskliny, trhliny - nejvíce vyskytující se defekt. Tavenina v průběhu lití a po něm, do vytvoření pevné ztuhlé vrstvy, působí uvnitř na formu tlakem, který ji může porušit. A proto musí mít skořepinová forma dostatečnou pevnost i tvrdost, aby mohla odolávat tlaku taveniny, vymílání při proudění taveniny.

Zvláště důležitá je pevnost a tvrdost skořepiny v horkém stavu. Po ztuhnutí odlitku by forma měla být poddajná aby nebránila smrštování kovu při chladnutí a

tím omezila tvoření vnitřních pnutí, vedoucích nezřídka k deformacím, případně vzniku trhlin v odlitcích.

Potřeba pevnosti formy v horkém stavu a její poddajnosti si navzájem odpovídají. Zabránit vzniku trhlin je umožněno snížením pevnosti skořepiny do možné meze nebo zvýšením teploty formy s tím, aby se zpomalilo tuhnutí kovu.

Po vychladnutí odlitku by forma měla být snadno rozrušitelná, aby se bez obtíží dala odstranit z odlitku bez jeho porušení.

Pevnost skořepiny v ohýbu se vypočítá ze vztahu :  $R_{mo} = \frac{3 \cdot F_m \cdot l_o}{2 \cdot b \cdot h^2}$  [MPa] (4-1)

$F_m$  . . . . zatěžovací síla [N]

$l_o$  . . . . vzdálenost hrotů [mm]

$b$  . . . . šířka vzorku [mm]

$l$  . . . . délka vzorku [mm]

$h$  . . . . tloušťka vzorku [mm]

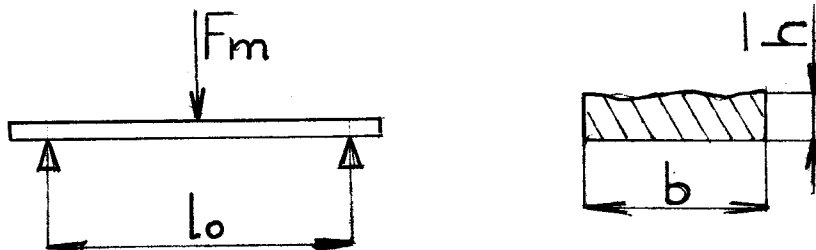
$n$  . . . . počet měření

$$\bar{h} = \frac{h_1 + h_2 + h_3 + \dots + h_n}{n} \quad (4-2)$$

$R_{mo}$  se pohybuje v rozmezí 3 - 10 [MPa]

rozměry zkušebních tělisek 125 x 25 x  $h$  [mm]

Obrázek 4-1 Schéma určení pevnosti v ohýbu skořepinových forem



#### 4.2. Prodyšnost skořepinových forem

Prodyšnost skořepinové formy je její schopnost propouštět plyny a páry při lití. Závisí na množství póru ve skořepině a na tom, do jaké míry jsou vzájemně propojeny.

Prodyšnost keramických forem pro přesné lití ve srovnání s prodyšností dělených pískových forem je nepatrná. Málo prodyšné formy mohou způsobit potíže v procesu výroby přesných odliteků. Poněvadž při lití do málo prodyšných skořepin za normálních atmosférických podmínek nemohou plyny z roztaveného kovu a uzavřený vzduch uniknout stěnami skořepiny, kov nemůže dokonale formu vyplnit a odlitky budou nezaběhlé se špatnou jakostí povrchu.

Právě s ohledem na velmi nízké hodnoty prodyšnosti skořepin je měření technicky náročné a obtížné.

#### 4.3. Tepelná dilatace skořepinové formy

Při odlévání kovu do skořepinové formy je vystavena forma dlouhodobému působení teploty vyšší než je teplota likvidu taveniny. Následkem toho se forma během tohoto procesu objemově mění, což může být příčinou provozních potíží při výrobě přesných odliteků. Hodnota tepelné roztažnosti závisí především na chemickém složení žáruvzdorných materiálů, popř. jejich chemickotepelném zpracování. Je důležitá zejména při volbě velikosti přídavků na smrštění při výrobě matečného modelu, v úzké souvislosti se znalostí součinitele smrštění kovu nebo slitiny, z nichž se odlitek vyrobí. Průběh křivky roztažnosti v souvislosti s krystalizačními přeměnami je důležitý zejména u nejpoužívanějšího formovacího materiálu, křemene, při určení správného režimu vypalování skořepin.

K měření tepelné roztažnosti se obvykle používají různé typy dilatometrů, nejčastěji křemenné s vodovavným uspořádáním, v nichž se proměnují zkušební vzorky

připravené stejným postupem jako vlastní skořepinové formy.

Dilatace vzorku při zvolených podmínkách ohřevu, obvykle odporovou pecí, se registruje a vyhodnocuje. Podrobněji bude tato zkouška popsána v experimentální části.

#### 4.4. Vlivy některých činitelů působící na pevnost a prodyšnost skořepinových forem

Změny v kvalitě skořepiny, v její pevnosti, prodyšnosti, popř. tepelné roztažnosti mohou vést k poruchám a obtížím při výrobě.

Vzhledem k tomu, že se v Československu používá na výrobu skořepinových forem především křemenný materiál a etylsilikát, je kontrola formovacích hmot zaměřena na sledování vlastností surovin pro tuto technologii.

##### Na pevnost skořepin má vliv:

- tvar a velikost zrna žáruvzdorné moučky v obalové hmotě, v menší míře také tvar a velikost posypového materiálu,
- koncentrace koloidního oxidu křemičitého v obalové hmotě,
- množství pojiva v obalové hmotě,
- technologie obalování a sušení.

Pro křemennou moučku /kvarcit/ všeobecně platí, že hrubá moučka dává skořepinám menší pevnost v chybě než jemná. Podle literatury pevnost skořepin ovlivňuje posypový materiál s nízkým rozsahem zrnitosti jen málo. Jestliže je však rozsah zrnitosti široký, je pevnost velmi ovlivněna. V rozmezí zrnitosti křemenného písku 0,06 - 0,5 mm nezávisí pevnost skořepiny na zrnitosti posypového materiálu, pokud má posyp nízký rozsah velikosti zrna. S přísadou jemnějších podílů pevnost poněkud

stoupne. Pro husté obalové hmoty z křemenné moučky s dlouhou výtokovou dobou není vhodný jemný posypový písek, poněvadž na obalu špatně drží a nezaručuje dokonalcu soudržnost jednotlivých obalů. Skořepiny z tavých obalů nemají vysokou pevnost.

Na prodyšnost skořepin má vliv :

- velikost a tvar žáruvzdorné moučky a posypového materiálu,
- koncentrace a typ kapalného pojedla,
- teplota a doba žíhání skořepin.

Vliv zrnitosti posypového materiálu na skořepiny - s rostoucí velikostí zrna posypu roste prodyšnost skořepin až určité hodnotě velikosti zrna posypu. S dalším růstem zrna posypu prodyšnost poklesne, a to zejména u hustších obalových hmot. Pokles prodyšnosti skořepin s hrubým posypem se vysvětluje tak, že jsou mezi jednotlivými zrny větší volné prostory, do nichž při opakovaném namáčení do obalové hmoty snadno hmota pronikne, zejména jestliže je vysokoznější, nevyteče, volné prostory mezi zrny zcela vyplní.

Zvyšováním teploty a prodloužováním doby žíhání se pevnost skořepin zvyšuje. Také prodyšnost se zvyšuje s prodlouženou dobou žíhání za předpokladu, že v obalové hmotě nejsou látky snižující teplotu tavení žáruvzdorné moučky. V takovém případě by došlo ke snížení prodyšnosti forem.

Využití materiálů na bázi  $\text{SiO}_2$  k výrobě forem pro přesné lití je v ČSFR velmi rozšířené, protože tento materiál je z dostupných tuzemských surovin, které jsou oproti zahraničním materiálům levné. Těchto materálů se využívá především k výrobě přesných odliatků ze slitin železa a již méně pro výrobu odliatků z barevných kovů, zejména hliníku. Zde mají klasické keramické skořepinové formy na bázi  $\text{SiO}_2$  - vzhledem k překrystalizaci

křemene a s ní spojenými změnami průběhu dilatací a dále k obtížnostem při čištění odlitků - omezené použití.

Proto se hledají stále nové materiály a jejich kombinace, které by vyhovovaly svými vlastnostmi požadavkům výroby přesných odlitků ze slitin hliníku metodou vytavitelného modelu - dostatečná pevnost, prodyšnost, minimální objemové změny a též snadnost při čištění odlitků. Touto problematikou se zabývá i Katedra strojírenské metalurgie při VŠST Liberec, která ověřovala možnosti výroby odlitků z hliníkových slitin v kombinovaných skořepinových formách na bázi lupku a sádry.

Na její výsledky navazují při řešení mé diplomové práce.

5.

KOMBINOVANÉ SKOŘEPINOVÉ FORMY, JEJICH VLASTNOSTI  
A MOŽNOSTI POUŽITÍ PŘI VÝROBĚ ODLITKU Z HLINÍ-  
KOVÝCH SLITIN

Možnost netradiční přípravy skořepinových forem pro přesné lití slitin hliníku byla z podnětu slévárny a.s. MESIT - Uherské Hradiště ověřována na Katedře strojírenské metalurgie VŠST v Liberci. Postup řešení, dosažené výsledky včetně návrhu složení a postupu přípravy kombinované skořepiny na bázi lupku a sádry, jakož i výsledky prvních laboratorních odlití do těchto forem jsou shrnutы v pracích /4,6/. Z těchto prací uvádím proto jen základní charakteristiky, z nichž dále vycházím ve své experimentální části.

5.1. Použití keramických forem a forem ze sádrových směsí pro výrobu odlitků ze slitin hliníku

Keramické formy - jsou realizovány jako formy skořepinové pomocí vytaviteľných modelů. Namáhání těchto forem je vzhledem k nižším licím teplotám, hustotě i některým dalším vlastnostem hliníku a jeho slitin nižší než při odlévání slitin železa, což však neznamená, že tato technologie je bezproblémová - obtížné odstraňování směsi z odlitku.

Formy ze sádrových směsí - jsou realizovány jako formy plné /blokové/, v převážné většině vyráběné pomocí trvalého modelu. Vzhledem ke specifickým vlastnostem sádry jako hlavní složky těchto směsí a celkově časově náročnému a pracnému postupu výroby forem ze sádrových směsí je jejich použití zatím omezeno na některé speciální druhy odlitků.

Ve snaze omezit nepříznivé vlastnosti klasických keramických skořepin na bázi  $\text{SiO}_2$  byla zaměřena pozornost na možnost nahrazení  $\text{SiO}_2$  - mletého křemenného ostříva páleným lupkem, tj. tuzemským, cenově přijatelným materiálem bez polymorfních přeměn. Řeší se tím

současně i náhrada některých dovážených nekřemenných  
ostřiv /5/.

V této souvislosti vznikl i návrh na využití některých předností sádrových směsí a tím vytvoření kombinované skořepinové formy na bázi lupku a sádry jako ne-tradiční řešení metody vytavitevního modelu.  
Výběr vhodného složení formovacích směsí a návrh výroby kombinované skořepincové formy se opíral o výsledky:

- a/ měření dilatačních vlastností
- b/ měření pevnostních vlastností
- c/ měření některých technologických vlastností

V dalším uvedu podrobněji poznatky o bodech a/, b/.

#### 5.2. Výsledky měření dilatačních vlastností keramických skořepin forem ze sádrových směsí a kombinovaných skořepin

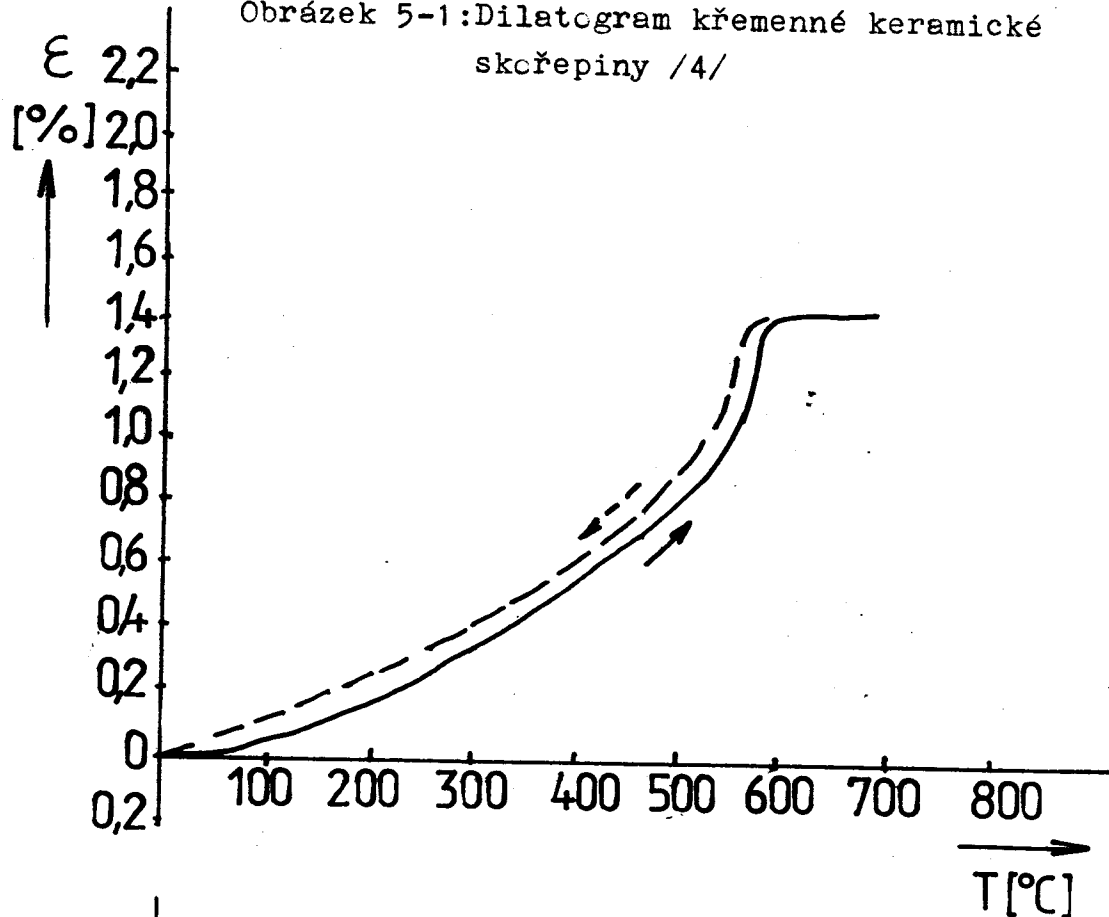
Zatímco u keramické formy dochází při jejím ohřevu vždy k roztahování, jehož průběh je odlišný podle druhu použitého materiálu /především ostřiva/, nastává u forem ze sádrových směsí a sádry zpočátku první roztahování, ale od teploty 200°C naopak smrštování, které je mezi T = 400 - 500°C velmi prudké. Po ochlazení na pokojovou teplotu je smrštění až 0,3% /podle druhu sádry a jejího obsahu ve směsi/.

Měření dilatace bylo provedeno na laboratorním křemenném dilatometru. Postup měření je uveden v literatuře /4/.

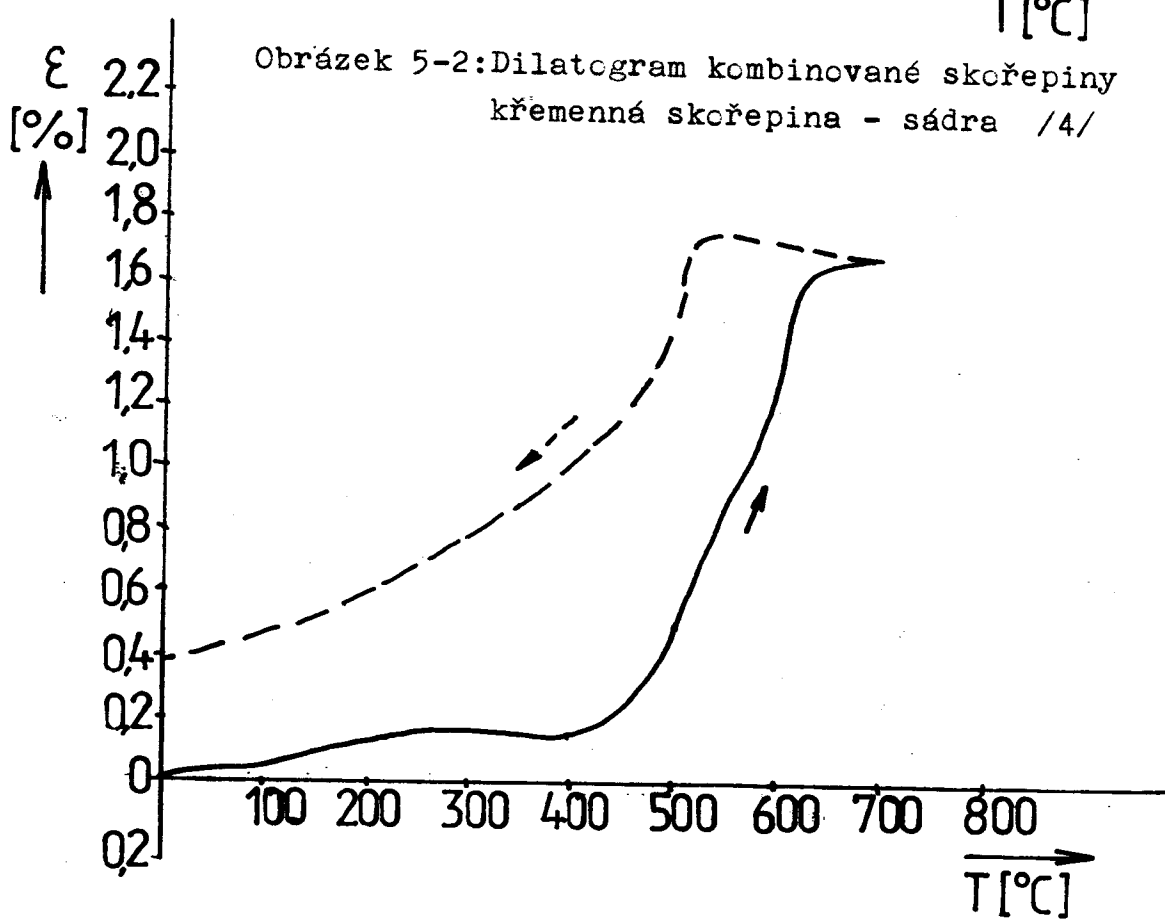
Z obr. 5-1 a 5-2 vyplývá zaměření prací při výběru optimálního složení formovacích směsí s co nejmenšími rozdíly v dilatačních vlastnostech :

- snížení celkové kladné dilatace /roztahování/ při ohřevu u keramické směsi; tomu vyhovuje požadavek zadání úkolu na použití mletého páleného lupku jako ostřiva pro přípravu keramické skořepiny,

Obrázek 5-1:Dilatogram křemenné keramické skořepiny /4/



Obrázek 5-2:Dilatogram kombinované skořepiny  
křemenná skořepina - sádra /4/



- snížení celkové záporné dilatace /smrštění/  
při ohřevu u sádry a sádrových směsí a přiblí-  
žení průběhu celkové dilatace formy a těchto směsí prů-  
běhu dilatace keramické skořepiny.

Při návrhu složení a přípravy sádrové směsi na kombinovanou skořepinovou formu byl brán v úvahu jak požadavek na využití lupkové keramické skořepiny dle postupu vypracovaného a ověřeného v a.s. MESIT, tak dostupnost jednotlivých složek směsi.

Byly vybrány tyto materiály:

- sádra polská ...dostupná, poměrně dobré dilatační vlastnosti,
- křemenná moučka..typu FF nebo SUK, její obsah je nutný k ovlivnění průběhu dilatačních vlastností sádry,
- molochit .....jako práškovitý je používán ve slévárně MESIT k přípravě keramické břečky,
- lupek .....mletý pálený lupek je ověřován k použití na skořepinové formy pro odlévání slitin Al.

Složení sádrové směsi, která byla v konečné fázi doporučena k použití je:

sádra polská	.....	30 %
křemenná moučka	.....	50 %
lupek	.....	20 %

Sádrová obalovací kaše byla připravena rozmícháním sádrové směsi ve vodě při poměru V/P = 0,6.

Keramická obalovací směs obsahovala :

- mletý pálený lupek
- vaznou kapalinu /dle předpisu MESIT/

Kombinovaná skořepinová forma byla připravována obalováním voskového modelu.

1. obal - keramická obalovací břečka  
posyp:lupek /0,2 - 0,3 mm/
2. obal - sádrová obalovací kaše  
posyp:lupek /0,6 - 0,8 mm/
3. obal - keramická obalovací břečka  
posyp:lupek /0,6 - 0,8 mm/
4. obal - sádrová obalovací kaše  
posyp:lupek /0,6 - 0,8 mm/
5. obal - keramická obalovací břečka  
posyp:lupek /0,6 - 0,8 mm/

Dilatogramy kombinované skořepiny jejich srovnání s dilatogramy lupkové skořepiny jsou na obr.5-3. Z nich vyplývá, že z hlediska dilatací bylo dosaženo požadovaného výsledku.

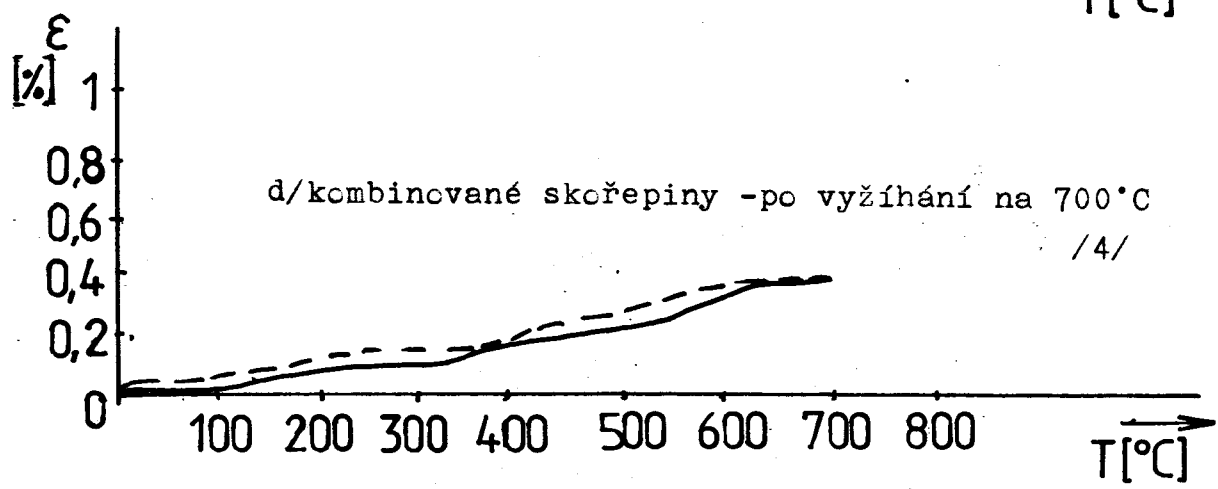
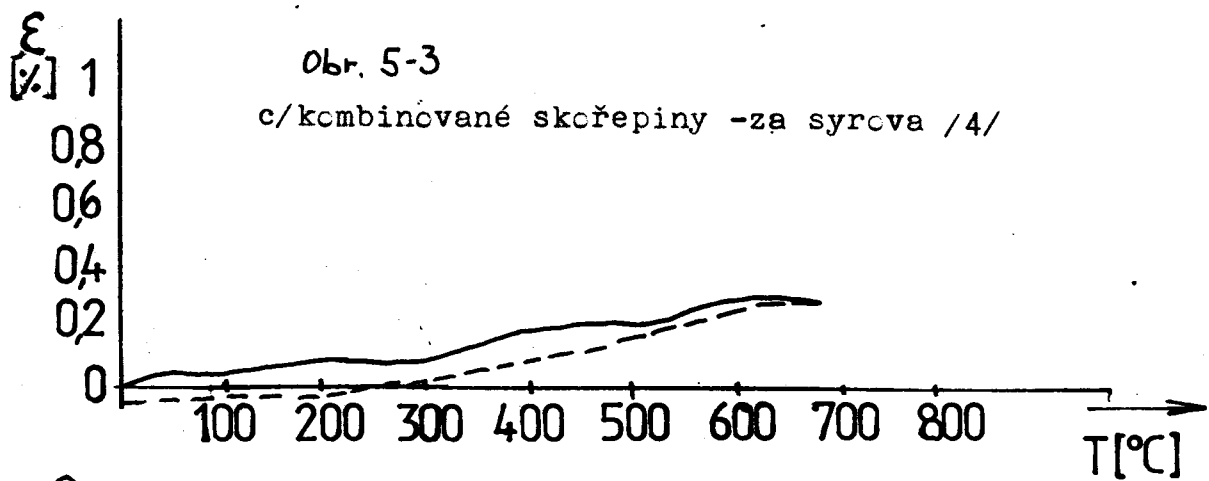
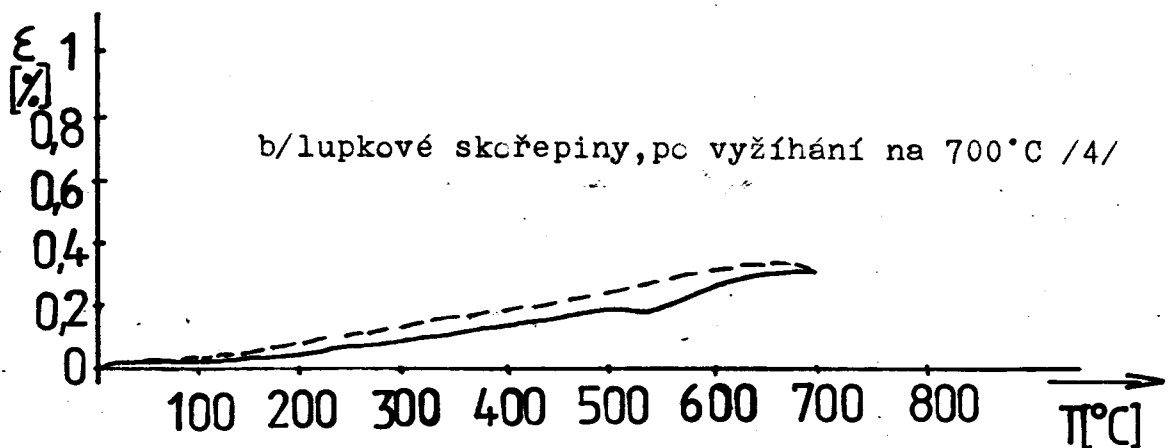
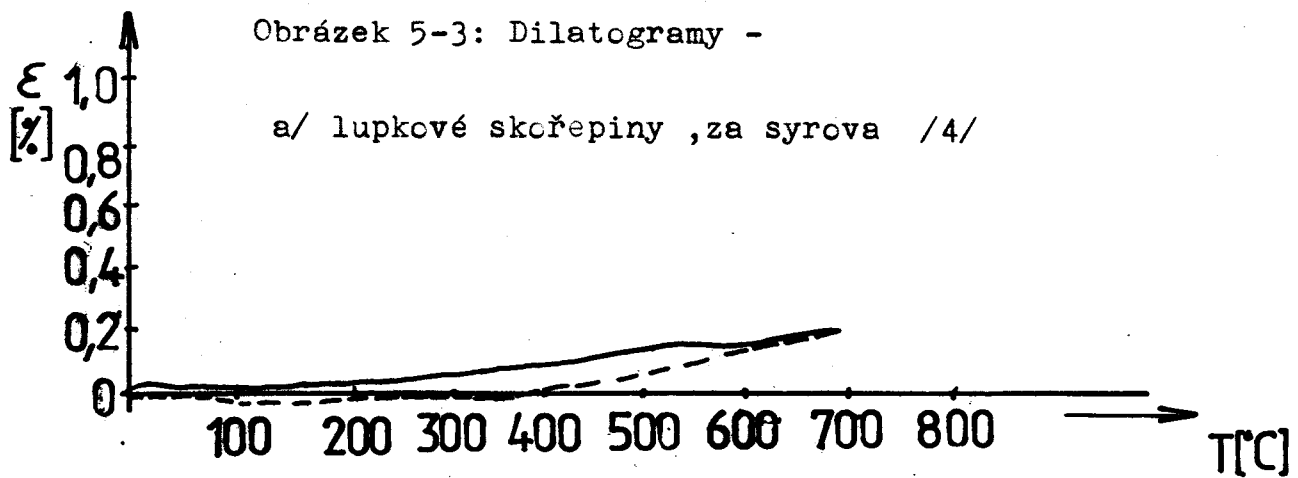
### 5.3. Měření pevnosti skořepinových forem

Měření pevnosti v ohybu u skořepinových forem je jednou z již zavedených metod hodnocení odolnosti těchto forem při jejich provozu. Proto byla v plném rozsahu použita i při hodnocení kombinované keramické skořepiny.

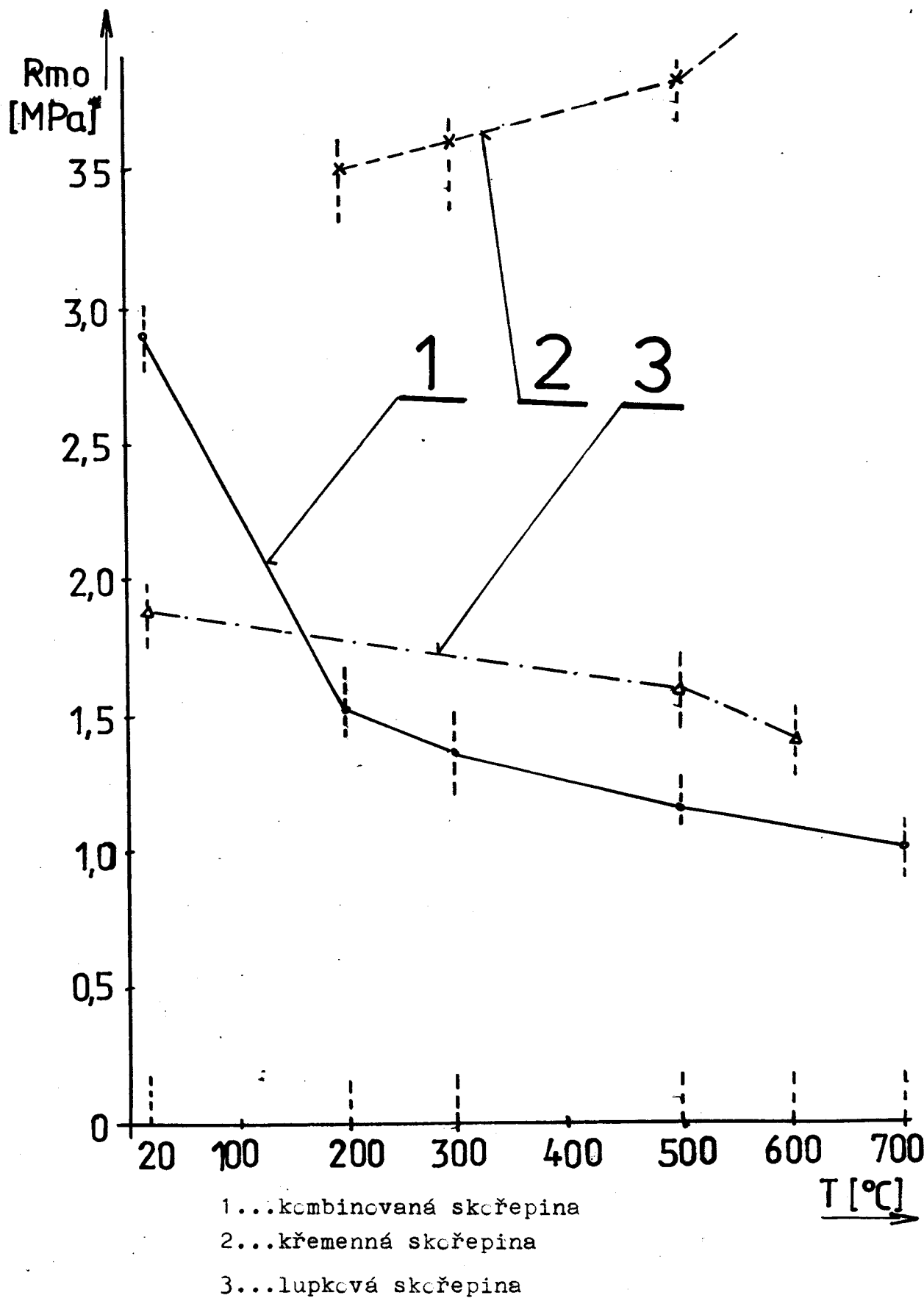
Zkušební tělíska - destičky o rozměrech 125 x 25 x h [mm], kde h je tloušťka skořepiny podle počtu obalů.

Po nanesení pěti obalů a po vysušení na volném vzduchu při pokojové teplotě po dobu 24 hodin, byla zkušební tělíska oddělena bez vytavování modelu, upravena a část z nich tepelně zpracována žíháním při různých teplotách. Po vychladnutí byla spolu se vzorky nežíhanými lámána za normální teploty na laboratorním přístroji pro zkoušku pevnosti skořepin v ohybu. Rm<sub>c</sub> se vypočetlo ze vztahu 4-1. Z těchto hodnot bylo vytvořeno grafické znázornění závislosti pevnosti na teplotě./viz obr.5-4/

Obrázek 5-3: Dilatogramy -



obr. 5-4 : Pevnost jednotlivých skořepin /4/



5.4. Shrnutí zkušeností z laboratorní i poloprovozní realizace návrhu kombinované skořepinové formy

Jak vyplývá z citovaných prací přinesla první ověřování návrhu kombinované skořepinové formy při odlévání odliků ze slitin hliníku uspokojivé výsledky, zejména pokud jde o příznivé dilatační vlastnosti formy a snadné odstranování skořepiny z dutin odliku.

Hlavním problémem, který zatím brání širšímu využití v provozních podmínkách, je nutnost přípravy obou rozdílných obalovacích formovacích směsí, přičemž sádrová obalovací kaše má podstatně kratší dobu zpracovatelnosti než keramická břečka. Dále je nutno pro potřeby obalování modelů sádrovou kaší připravit v dostatečném množství, které se však využije pro vytvoření obalů jen z malé části. Značná část bez využití ztvrdne a přechází v podstatě do odpadu.

Proto byl ze strany a.s. MESIT - Uherské Hradiště vysloven požadavek využít vaznou kapalinu pro keramickou obalovou směs i pro obalovou sádrovcu kaši. Na tento úkol je zaměřena vlastní experimentální část této práce.

6.0. NÁVRH SLOŽENÍ A POSTUPU VÝROBY KOMBINOVANÝCH SKOŘEPINOVÝCH FOREM

6.1. Základní požadavky na řešení

Na základě úvah vycházejících z poznatků získaných prostudováním odborné literatury, výsledků dosažených katedrou strojírenské metalurgie, zkušeností získaných během předdiplomní praxe v a.s. MESIT - Uherské Hradiště, pod vedením Ing. J. Cilečka, a požadavků uvedených v závěru předcházející kapitoly, byla navržena k ověření nová koncepce přípravy kombinovaných skořepinových forem pro odlévání odlitků ze slitin hliníku.

Základním vodítkem při řešení bylo dodržení těchto dílčích předpokladů:

1. skořepina bude vytvářena obalovacím způsobem, ponořováním sestaveného modelu do dvou různých druhů obalovacích kašovitých směsí,
2. pro přípravu obou druhů obalovacích kašovitých směsí - keramická na bázi molochitu nebo lupku i sádrové ze sádrové směsi KSM - bude použita vazná kapalina získaná hydrolýzou etylsilikátu 40,
3. posyp nanesených obalů bude stejným druhem posypového materiálu - molochit, lupek - který se liší zrnitostí,
4. úpravou postupu přípravy vazné kapaliny hydrolyzou etylsilikátu bude ověřována možnost ovlivnění vlastností kombinované skořepiny,
5. vytvoření podmínek pro použití kombinovaných skořepinových forem v provozních podmínkách bude ověřována možnost přípravy obalovací sádrová kaše postupným přidáváním jednotlivých složek směsi do vazné kapaliny při dodržení předepsaného složení směsi.

6.2. Cvěřování varianty přípravy kombinovaných skořepinových forem

Pro porovnání vlastností různých druhů kombinovaných skořepin byla připravena serie celkem pěti variant složení a postupu přípravy forem. Jejich přehled je uveden v tab. 6-1.

Tabulka 6-1 : Přehled navržených variant kombinovaných skořepinových forem

varianta	Složení jednotlivých obalů /vrstev					objem H <sub>2</sub> O ve vazné kapalině [ml/l]	
	1.obal	2.obal	3.obal	4.obal	5.obal		
I.	B	M	SS-KSM	M	SS-KSM	M	100 -
	P	MI	MII	MII	MII	MII	
II.	B	M	SS-KSM	M	SS-KSM	M	200 -
	P	MI	MII	MII	MII	MII	
III.	B	L	SS-KSM	L	SS-KSM	L	100
	P	LI	LII	LIII	LIII	LIII	
IV.	B	L	SS-KSM	L	SS-KSM	L	200
	P	LI	LII	LIII	LIII	LIII	
V.	B	SS-KSM	SS-KSM	SS-KSM	SS-KSM	SS-KSM	100
	P	MI	MII	MII	MII	MII	

Označení :

B - obalovací břečka - L . . . lupková

M . . . molochitová

SS - KSM . . . ze sádrové směsi

P - posyp obalů -  $M_{I,II} \dots$  molochit  
zrnitost : I...0,17 - 0,3 mm  
II...0,5 - 1,0 mm

-  $L_{I,II,III} \dots$  lupek  
zrnitost : I...do 0,3 mm  
II...0,3 - 0,6 mm  
III...0,6 - 0,8 mm

U všech variant je k vytvoření obalovací břečky použita vazná kapalina na bázi etylsilikátu.

Složení, které bude dále podrobněji popsáno, se liší dvěma různými procentuálními zastoupeními  $H_2O$  ve vazné kapalině : u variant I, III, V je použito vazné kapaliny na bázi ETS se 100 ml  $H_2O$  / litr vaz. kapaliny, u variant II, IV je tento obsah  $H_2O$  ve vazné kapalině 200 ml / litr vaz. kapaliny.

Z tab. 6-1 je zřejmé, že složení variant I, II je totožné a složení variant III, IV je také stejné.

Varianta I byla zvolena jako pokračování ověřovacích prací na předdiplomní práci ve slévárně a.s. MESIT Uherské Hradiště /z podnětu Ing. Cilečka/.

Varianta II úzce navazuje na variantu I při použití vazné kapaliny s dvojnásobným množstvím vody.

Varianty III, IV byly zvoleny z důvodu poměrně příznivých vlastností lupku, jeho nižší ceny ve srovnání s molochitem a dostupnosti na tuzemském trhu.

Varianta V byla zvolena za účelem zjištění základních vlastností skořepiny vytvořené pouze ze sádrové směsi. U této varianty jsem zvolil složení vazné kapaliny se 100 ml  $H_2O$  na 1 litr vazné kapaliny.

U variant I, II, III, IV je na 2. a 4. obal použita sádrová směs. U této směsi předpokládám, vzhledem k sádře v ní obsažené, že napomůže ke snadnějšímu rozrušení skořepiny při vytloukání odlitku.

### 6.3. Složení sádrové směsi SS-KSM

Sádrová směs použitá pro výrobu kombinovaných skořepinových forem byla připravena dle předpisu katedry strojírenské metalurgie.

Tato směs obsahuje: 30% . . . . sádra polská GA12  
50% . . . . křemenná moučka SUK  
20% . . . . lupek

Homogenizace se provádí v suchém stavu na laboratorním rychlomíšiči.

### 6.4. Složení a příprava vazné kapaliny na bázi etylsilikátu 40

Vazná kapalina byla připravována dle předpisu, používaného v a.s. MESIT. Získá se mícháním jednotlivých složek v uvedených množstvích:

500 ml . . . . etylsilikátu /ETS 40/  
400 ml . . . . etylalkoholu /líh denaturowaný/  
100 ml . . . . destilované vody  
4 ml . . . . 30%HCl

složení ředitelství: na 100 ml etylalkoholu  
1,6 ml 30%HCl

ředitelství poměr : 1,5 dílu vazné kapaliny  
1 díl ředitelství

Ředitelství zajišťuje obsah  $\text{SiO}_2$  ve vazné kapalině kolem 12% a byl zvolen z důvodu ovlivnění vlastnosti skořepiny - předpokládané snížení pevnosti skořepiny.

#### Postup vlastního namíchání vazné kapaliny

Do připravené nádoby se nalije stanovené množství etylalkoholu, pak se přidá oxyselená destilovaná voda. Tento vzniklý roztok se míchá a za stálého míchání se přidává etylsilikát /ETS 40/. Po této operaci se kapalina okamžitě zakalí. K jejímu vyčeření dojde po určité době.

Poznámka: Při hydrolyze se uvolňuje teplo, které kapalinu ohřívá. Teplota nesmí překročit 40°C, jinak je nutno kapalinu chladit.

#### 6.5. Výroba a zpracování kombinované skořepiny

V této serii ověřování uvedených 5 variant byly připravovány kombinované skořepiny pro zkoušku pevnosti skořepin v ohybu, pro měření dilatací a dále speciální zkušební formy pro studium procesu tuhnutí v rámci diplomové práce T.Budského /8/.

##### 6.5.1. Obalování voskového modelu

Jednotlivé varianty jsou uvedeny v tab.6-1.

1. obal - keramická obalovací břečka

viskozita - 15 s

posyp : podle použité varianty

sušení: 2 - 4 hodiny

2. obal - sádrovací obalovací kaše

viskozita - 15 s

posyp : podle tab.6-1

sušení: 16 hodin

3. obal - keramická obalovací kaše

viskozita - 15 s

posyp : podle tab.6-1

sušení: 6 - 8 hodin

4. obal - sádrovací obalovací kaše

viskozita - 15 s

posyp : podle tab.6-1

sušení: 16 hodin

5. obal - keramická obalovací břečka

viskozita - 15 s

posyp : podle tab.6-1

## sušení - 16 - 24 hodin

Viskozita obalové břečky je měřena Fordovým po-  
hárikem  $\phi$  6 mm. Hodnota viskozity 15 s byla zvolena na  
základě návrhu Ing. Cilečka.

Snahou je úspora formovacího materiálu, zkrácení  
času při míchání břeček na minimum.

### 6.5.2. Sušení obalů

Sušení obalů probíhá po stanovenou dobu pro jed-  
notlivé nanesení vrstvy /obaly/ v prostředí o teplotě  
 $20 \pm 2 ^\circ\text{C}$  a vlhkosti  $75 \pm 10 \%$ .

### 6.5.3. Oddělování skořepiny od modelu

Vzhledem k uspořádání modelů pro vzorky na výro-  
bu zkušebních destiček pro zkoušku pevnosti v ohybu i  
pro dilataci nebylo použito vytavování modelu, nýbrž  
pouhé oddělení získané skořepiny od modelu.

### 6.5.4. Žíhání vzorků kombinovaných skořepin

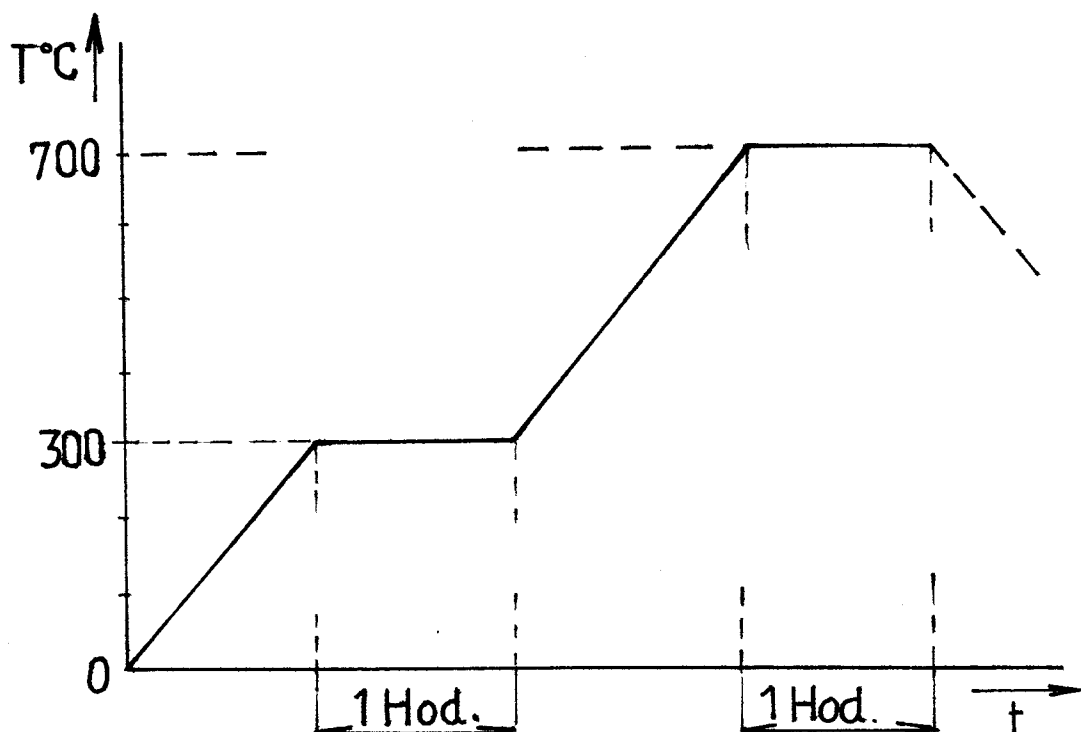
Vzorky skořepin byly žíhány pro možnost srovná-  
ní vlastností kombinované skořepiny za syrova a po vy-  
žíhání. Byla zkoušena polovina vyrobených vzorků za syro-  
va a polovina vzorků po vyžíhání.

Skořepinové formy se vloží do chladné peci, plynule  
se zahřejí na teplotu  $300^\circ\text{C}$ , s výdrží na této teplotě  
1 hodinu. Pak se plynule ohřejí na teplotu  $700^\circ\text{C}$ . Výdrž  
na této teplotě je opět 1 hodinu. Vzorky se nechají vychladnout ve vypnuté peci.

obr. 6-1      Žíhací diagram

Tento diagram je uveden na následující straně.

obr. 6-1 Žíhací diagram



Ochlazování v peci.

Po těchto operacích se provede hodnocení vlastností skořepin /pevnost, průdysnost/. Metody ověřující tyto vlastnosti kombinovaných skořepinových forem jsou stručně popsány v následující kapitole.

7. HODNOCENÍ PEVNOSTI A DILATAČNÍCH VLASTNOSTÍ  
KOMBINOVANÝCH SKOŘEPIN

7.1. Hodnocení pevnosti skořepinových forem v ohybu

Nejběžnějším způsobem zjišťování pevnosti skořepin v ohybu je lámací zkouška. Zkušební tělíska se připravují opakováním nanášením obalovací hmoty a zasypáváním voskových modelů tvaru korýtka /viz. obr. 7-1 kap. 7/ technologií shodnou s provozní. Tyto se pak podrobují vlastní zkoušce.

Za tímto účelem bylo připraveno celkem 50 zkušebních destiček /viz. obr. 7-1 kap. 7/ následujícím způsobem :

- 10 vzorků - kombinovaná skořepina MOL-KSM; 100 ml H<sub>2</sub>O
- 10 vzorků - kombinovaná skořepina MOL-KSM; 200 ml H<sub>2</sub>O
- 10 vzorků - kombinovaná skořepina LUP-KSM; 100 ml H<sub>2</sub>O
- 10 vzorků - kombinovaná skořepina LUP-KSM; 200 ml H<sub>2</sub>O
- 10 vzorků - kombinovaná skořepina SS-KSM; 100 ml H<sub>2</sub>O

Část vzorků byla zkoušena za syrova a část tepelně zpracována, a to vyžiháním na teplotu 700°C plynulým ohrevem v elektrické odporové peci s výdrží na teplotě 300°C hodinu a poté s výdrží na teplotě 700°C hodinu a s ochlazením též v peci /typ MV-2/. Lámání jednotlivých trámečků proběhlo třikrát a to jednou na vzdálosti podpor 100 mm a dvakrát na vzdálenosti podpor 50 mm.

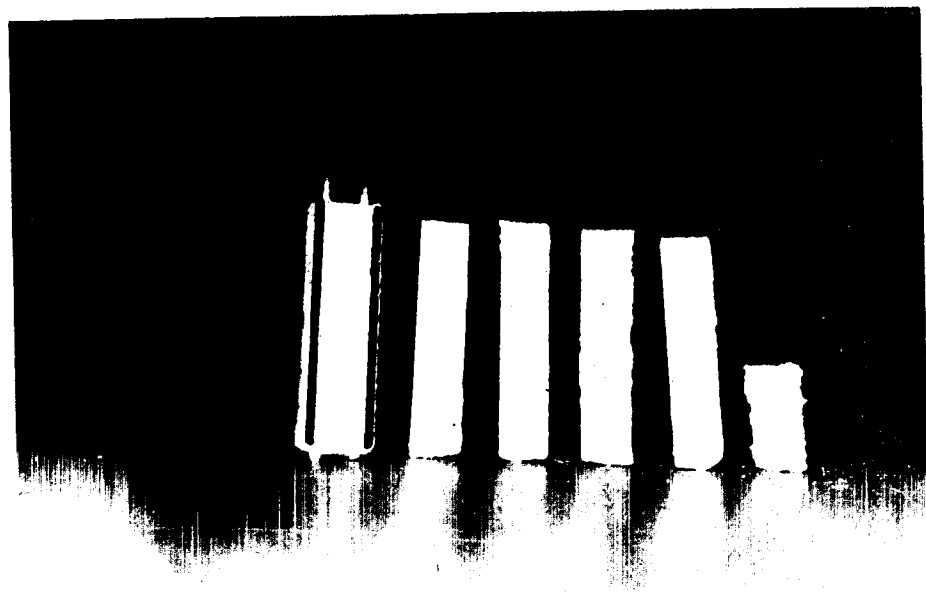
7.1.1. Příprava zkušebních vzorků

Pro přípravu zkušebních trámečků bylo použito celkem 25 voskových modelů /korýtek/, přičemž z každého korýtka byl získán pár trámečků.

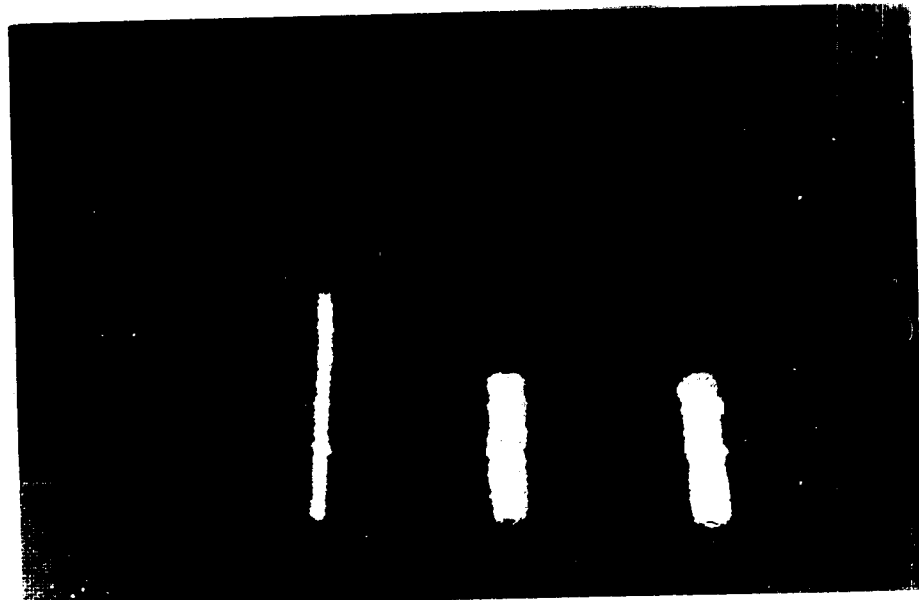
Důležité je, těsně po nanesení jednotlivých obalů, seškrábnout z fazetky korýtka nanesenou formovací hmotu, čímž vznikne spára, jež usnadní pozdější vyjímání.

Po dokonalém zaschnutí /min. 4 hodiny po nanesení/

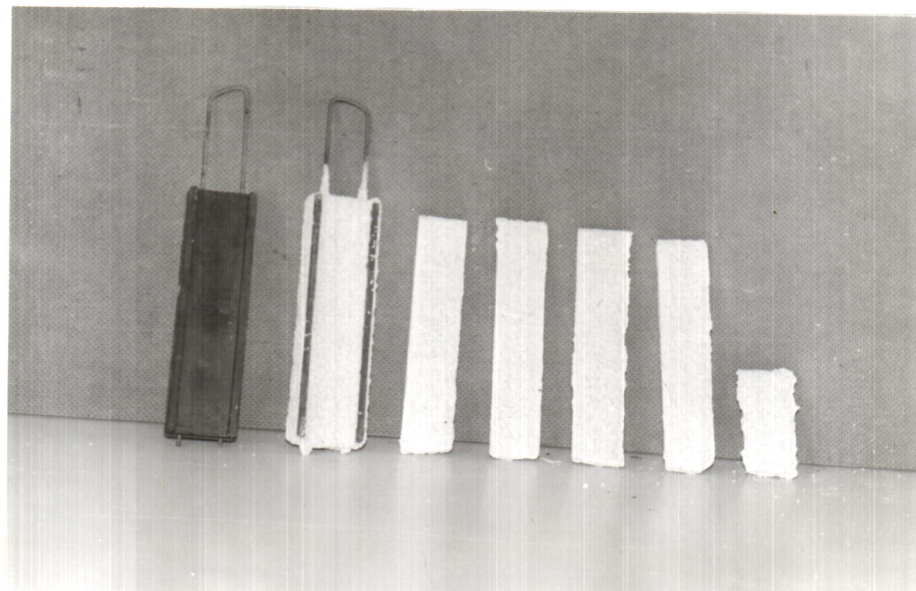
Obrázek 7-1 : Voskový model a vzorky pro hodnocení pevnosti skořepinových forem v ohybu



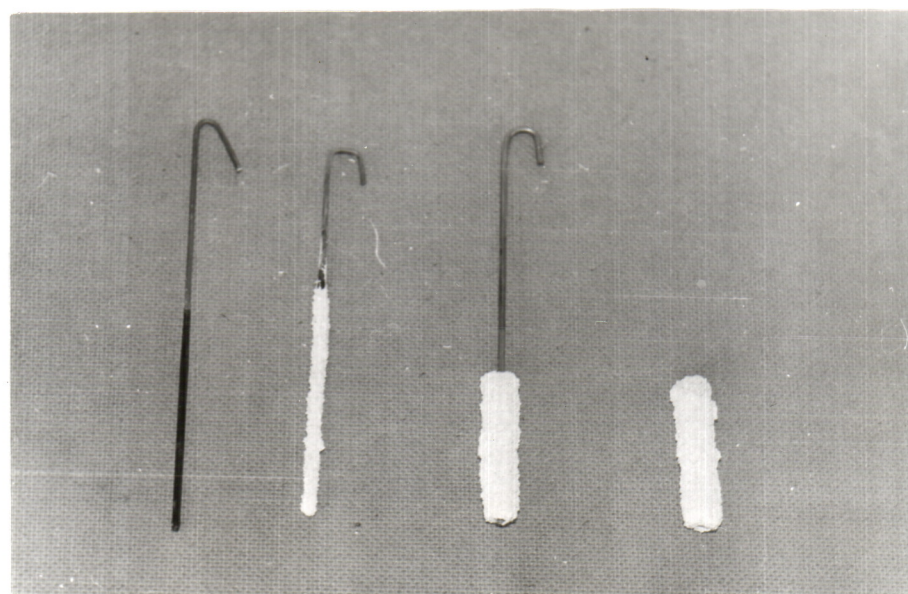
Obrázek 7-5 : Vzorky pro hodnocení dilatačních vlastností skořepinových forem



Obrázek 7-1 : Voskový model a vzorky pro hodnocení pevnosti skořepinových forem v ohýbu



Obrázek 7-5 : Vzorky pro hodnocení dilatačních vlastností skořepinových forem



ní posledního obalu/ se trámečky vyjmou tím způsobem, že se seřízne jedna strana ležiny korytko nožem a lehkým páčením provede vyloupnutí.

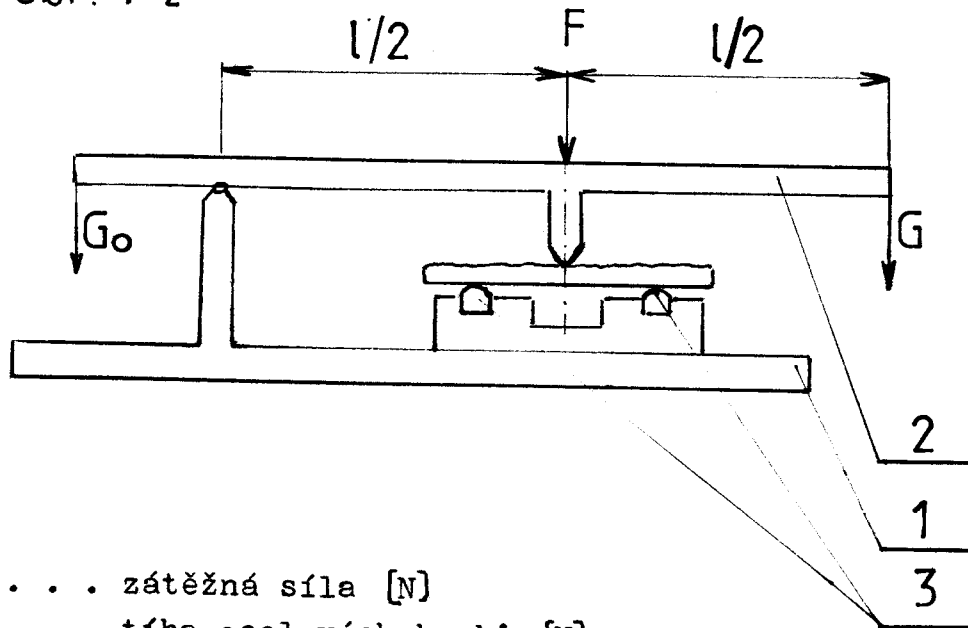
Dále následuje vyžíhání způsobem popsáným v kap. 6.5.4.

#### 7.1.2. Stanovení pevnosti v ohybu

K měření pevnosti skořepin v ohybu bylo použito mechanického zařízení pracujícího na principu jednoramenné páky /poměr 1:2/.

Vzorky byly kladeny hladkou stranou na výkyvně uložené podpory /vzdálenost podpor 100 a 50 mm/ a vystaveny statickému zatížení od plynule se měnící síly, dané hmotností sypaných ocelových broků /viz. obr. 7.2./.

obr. 7-2



F . . . . zátěžná síla [N]

G . . . . tíha ocelových broků [N]

$G_o$  . . . . tíha vyvažovacího závaží [N]

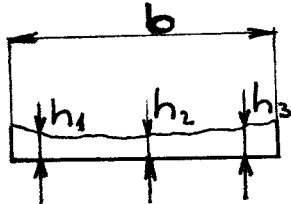
1 . . . . stojan mechanismu

2 . . . . kombinovaná páka

3 . . . . výkyvně uložené podpory

Tloušťka vzorku byla proměřována na 3 místech po

přelomení v místě lomu následovně.



Průměrná tloušťka trámečku byla stanovena ze vzorce

$$\bar{h} = \frac{h_1 + h_2 + h_3}{3} \text{ [mm]} \quad (7-1)$$

pevnost v ohybu ze vzorce

$$R_{mo} = \frac{3 \cdot F \cdot l}{2 \cdot b \cdot h^2} \text{ [MPa]} \quad (7-2)$$

b . . . šířka zkušebního trámečku [mm]

l . . . vzdálenost podpor [mm]

L . . . délka zkušebního trámečku 125 mm

F . . . zátěžná síla

Výsledky měření jsou uvedeny v tabulce 7-1 2,3,4,5,6

tab.7-1 : varianta I. - za syrova

č.m.	b	h1	h2	h3	h	Fm	Rmo	l
	[mm]	[mm]	[mm]	[mm]	[mm]	[N]	[MPa]	[mm]
1	25	5,2	5,8	6,2	5,73	8,35	1,52	100
2	25	6,3	6,2	6,6	6,367	21,3	1,57	50
3	25	7,6	7,75	7,8	7,72	28,8	1,45	50
4	25	7,0	7,5	6,95	7,15	23,6	1,38	50
5	25	7,0	7,5	7,2	7,23	25,0	1,43	50
6	25	8,0	7,6	7,8	7,8	27,5	1,35	50
- po výžíhání na 700 °C								
1	25	7,2	7,4	7,55	7,38	10,55	1,16	100
2	25	7,8	7,2	7,4	7,47	11,45	1,23	100
3	25	6,6	7,0	7,0	6,87	8,8	1,12	100
4	25	7,8	7,2	8,2	7,73	10,8	1,08	100
5	25	8,4	7,6	7,9	7,8	12,4	1,22	100
6	25	8,0	9,0	8,2	8,4	29,6	1,25	50

tab.7-2 : varianta II. - za syrova

č.m.	h1 [mm]	h2 [mm]	h3 [mm]	h [mm]	Fm [N]	Rmo [MPa]	b [mm]	l [mm]
1	8,1	7,7	7,5	7,76	14,3	1,42	25	100
2	6,85	6,9	7,2	6,98	13,5	1,66	25	100
3	7,1	7,0	7,7	7,26	13,5	1,51	25	100
4	7,7	8,05	7,6	7,78	28,95	1,43	25	50
5	6,95	6,6	7,2	6,91	24,25	1,52	25	50
6	8,0	8,2	8,6	8,26	24,55	1,10	25	50
7	8,7	8,0	7,8	8,16	26,4	1,19	25	50

- po vyžíhání na 700°C

č.m.	h1 [mm]	h2 [mm]	h3 [mm]	h [mm]	Fm [N]	Rmo [MPa]	b [mm]	l [mm]
1	6,9	7,4	8,0	7,43	10,7	1,16	25	100
2	8,3	8,7	8,0	8,33	10,45	0,9	25	100
3	8,4	7,2	7,4	7,66	20,55	1,05	25	50
4	8,0	7,9	8,2	8,03	20,45	1,27	25	50
5	6,9	6,8	8,0	7,23	20,4	1,17	25	50
6	7,6	6,9	7,5	7,33	23,49	1,3	25	50
7	9,2	9,0	8,4	8,86	27,5	1,05	25	50

tab.7-3 : varianta III. - za syrova

č.m.	h1 [mm]	h2 [mm]	h3 [mm]	h [mm]	Fm [N]	Rmo [MPa]	b [mm]	l [mm]
1	7,3	7,3	7,2	7,26	6,25	0,71	25	100
2	6,7	6,1	6,8	6,53	4,65	0,65	25	100
3	6,6	6,7	7,6	6,96	6,25	0,77	25	100
4	7,5	8,0	7,3	7,6	13,80	0,72	25	50
5	8,2	7,3	8,5	8,00	12,45	0,58	25	50
6	6,6	6,8	7,15	6,85	12,25	0,78	25	50
7	7,4	7,8	7,3	7,5	12,00	0,64	25	50

- po vyžíhání na 700°C

č.m.	h1 [mm]	h2 [mm]	h3 [mm]	h [mm]	Fm [N]	Rmo [MPa]	b [mm]	l [mm]
1	7,0	6,9	7,2	7,03	3,00	0,36	25	100
2	8,1	7,95	8,2	8,08	3,4	0,31	25	100
3	7,0	6,7	7,4	7,03	2,65	0,32	25	100
4	7,3	7,4	7,0	7,23	3,35	0,38	25	100
5	7,9	8,1	8,2	8,067	7,1	0,32	25	50

pokrač.tab.7-3

č.m.	h1 [mm]	h2 [mm]	h3 [mm]	h [mm]	Fm [N]	Rmo [MPa]	b [mm]	l [mm]
6	5,7	5,9	6,0	5,867	5,25	0,45	25	50
7	8,3	7,8	7,6	7,9	7,5	0,36	25	50

tab.7-4 : varianta IV. - za syrova

č.m.	h1 [mm]	h2 [mm]	h3 [mm]	h [mm]	Fm [N]	Rmo [MPa]	b [mm]	l [mm]
1	7,8	8,2	8,5	8,167	7,9	0,71	25	100
2	7,45	7,45	7,65	7,517	15,35	0,81	25	50
3	7,3	7,15	7,3	7,25	14,95	0,85	25	50
4	8,3	7,9	8,2	8,13	15,00	0,68	25	50
5	8,6	8,25	8,3	8,38	14,40	0,615	25	50
6	8,55	8,2	8,6	8,45	16,70	0,702	25	50
7	8,2	8,5	8,2	8,3	17,50	0,762	25	50
- po vyžíhání na 700°C								
1	8,4	8,1	8,8	8,43	4,55	0,384	25	100
2	9,4	8,4	8,55	8,78	9,05	0,35	25	50
3	7,9	8,0	8,2	8,03	4,2	0,39	25	100
4	8,5	8,55	8,4	8,48	10,9	0,30	25	50
5	8,2	8,0	8,1	8,1	8,9	0,41	25	50
6	7,7	8,0	7,8	7,83	8,35	0,41	25	50
7	7,8	7,4	8,1	7,767	9,15	0,45	25	50

tab.7-5 : varianta V. - za syrova

č.m.	h1 [mm]	h2 [mm]	h3 [mm]	h [mm]	Fm [N]	Rmo [MPa]	b [mm]	l [mm]
1	9,0	7,5	7,6	8,03	9,75	0,907	25	100
2	7,55	5,85	7,6	7,0	10,8	1,3	25	100
3	7,8	7,9	8,1	7,93	27,25	1,2	25	100
4	7,4	7,2	7,8	7,46	20,6	1,11	25	50
5	7,1	6,95	6,6	6,883	16,75	1,06	25	50
6	7,6	7,4	7,5	7,5	23,5	1,25	25	50
7	7,5	7,2	7,7	7,46	17,15	0,92	25	50

pokrač.tab.7-5 : - po vyžíhání na 700°C

č.m.	h1 [mm]	h2 [mm]	h3 [mm]	h [mm]	Fm [N]	Rmo [MPa]	b [mm]	l [mm]
1	7,4	6,5	6,6	6,83	3,05	0,392	25	100
2	6,6	6,4	7,4	6,8	3,65	0,473	25	100
3	7,2	7,5	7,2	7,3	8,05	0,483	25	50
4	6,6	6,75	6,7	6,68	7,1	0,477	25	50
5	7,55	7,3	7,8	7,56	7,4	0,389	25	50
6	7,7	7,2	7,8	7,56	8,9	0,46	25	50
7	7,8	7,6	7,8	7,73	10,1	0,507	25	50

Tabulka 7-6 : Průměrné hodnoty pevnosti skořepinových forem v ohýbu - za syrova

varianta	I	II	III	IV
	MOL-SS-KSM	MOL-ss-KSM	L-SS-KSM	L-SS-KSM
množ. $H_2O$	100	200	100	200
Rmo: $\bar{x}$ [MPa]	1,45	1,405	0,692	0,732
$\sigma_n$	0,075	0,179	0,067	0,0743
$\sigma_{n-1}$	0,083	0,193	0,072	0,0802

varianta	V
	SS-KSM
množ. $H_2O$	100
Rmo: $\bar{x}$ [MPa]	1,106
$\sigma_n$	0,143
$\sigma_{n-1}$	0,154

- po vyžíhání na 700°C

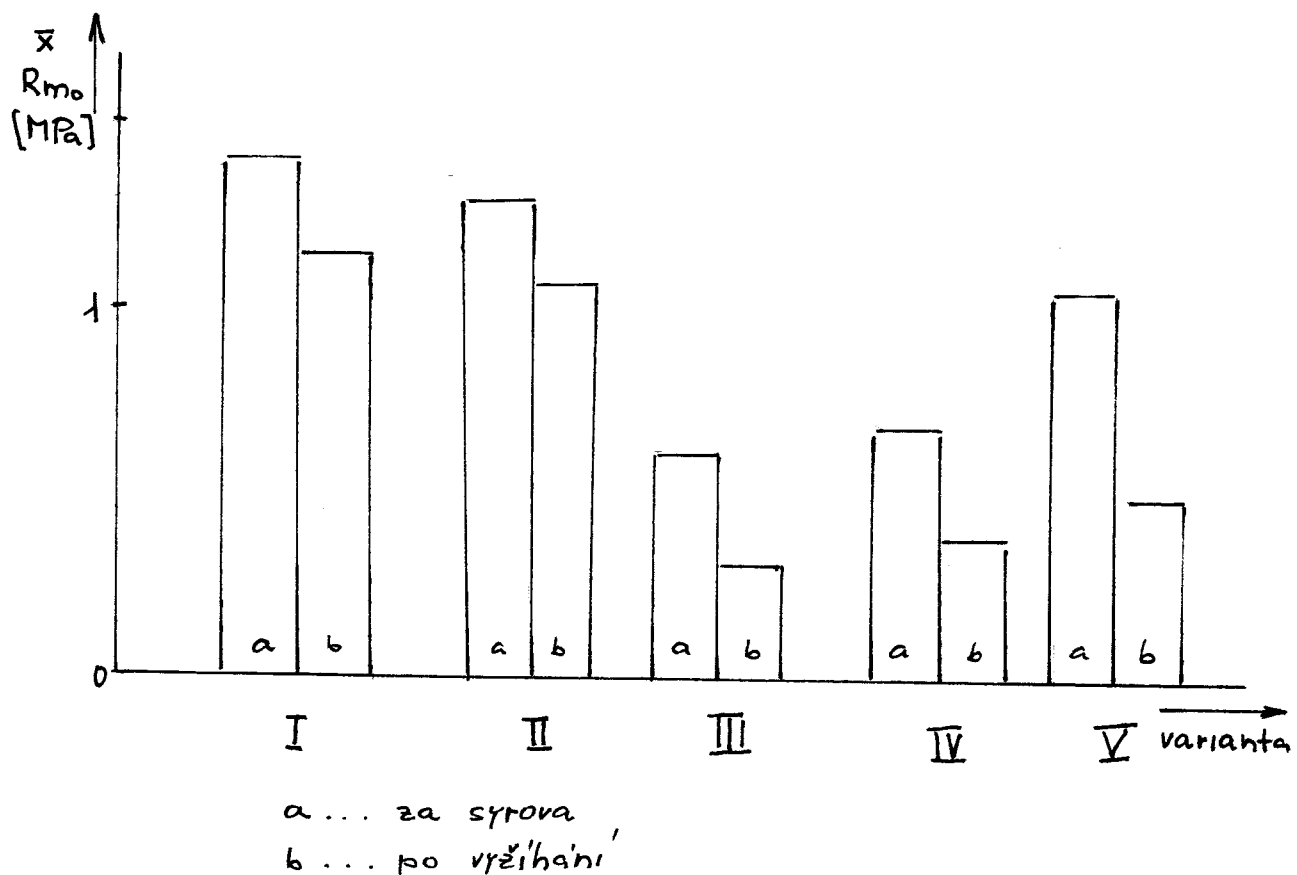
varianta	I	II	III	IV
	MOL-SS-KSM	MOL-ss-KSM	L-SS-KSM	L-SS-KSM
množ. $H_2O$	100	200	100	200
Rmo: $\bar{x}$ [MPa]	1,176	1,128	0,352	0,384
$\sigma_n$	0,0618	0,129	0,043	0,044
$\sigma_{n-1}$	0,0677	0,139	0,046	0,048

pokrač. tab. 7-6 :

varianta	V
	SS-KSM
množ. $H_2O$	100
Rmo: $\bar{x}$	0,454
[MPa] $\zeta_n$	0,042
$\zeta_{n-1}$	0,045

Grafické porovnání středních hodnot pevnosti jednotlivých skořepinových forem je znázorněno pomocí sloupkového diagramu 7-3

Obrázek 7-3 : Grafické porovnání středních hodnot pevnosti



## 7.2. Hodnocení dilatačních vlastností skořepinových forem

Měření dilatací bylo realizováno na laboratorním křemenném dilatometru v laboratoři KSM /viz. obr. 7-4 kap. 7/.

Pro snímání dilatací je v tomto dilatometru použit indukční snímač typ č. 99 427 /výrobce ZPA Nová Paka/, dále je zde využito elektrického odporového ohřevu s možností nastavení a regulace maximální teploty, jež je snímána pomocí termočlánku NiCr-Ni.

Pro tato měření bylo vyrobeno 25 zkušebních tělísek z výše uvedených druhů skořepin, tj. 5 tělísek z jednoho druhu kombinované skořepiny /viz. obr. 7-5 kap. 7/. Zkušební tělíska z jednotlivých skořepin byla měřena jednak za syrova a jednak po vyžihání na teplotu 700°C.

### 7.2.1. Příprava zkušebních tělísek

Pro přípravu zkušebních tělísek bylo použito celkem 25 kovových tyček  $\phi$  cca 2,5 mm, odmaštěných v etyl-alkoholu a obalených voskem /viz obr. 7-5 kap. 7/. Tako vytvořené modely byly opatřeny postupně jednotlivými druhy obalů stejným způsobem jako v kap. 2. Po dokonalém zaschnutí poslední vrstvy /4 hodiny/ byla zkušební tělíska připravena následujícím způsobem :

a/ vytvořená vrstva byla z obou krajů oboustraněna obroušením pomocí kotoučové brusky na požadovaný roz- měr - zhruba 48 - 50 mm,

b/ takto vzniklá válcovitá tělíska byla, po předchozím nahřátí na lihovém kahanu obou obnažených konců a natavení vosku, stažena,

c/ část tělísek určená k tepelnému zpracování byla vložena do elektrické odporové peci typ MV-2 a žíhána na teplotu 700°C /postupným ohřevem podle žíhacího diagramu v kap. 6.5.4./; po vyžihání byla ochlazena v peci.

### 7.2.2. Postup měření

Do měřící hlavice dilatometru bylo vloženo zkušební tělíska, jež bylo postupně ohříváno na teplotu  $800^{\circ}\text{C}$  konstantní rychlostí  $/20^{\circ}\text{C}/\text{min}$ /. Zapisovačem TZ 4200 byla sledována závislost změny délky na čase a závislost změny teploty na čase.

Zapisovačem ENDIM 2000/1 byla sledována závislost změny délky na teplotě. Po dosažení teploty  $800^{\circ}\text{C}$  byl vypnut přívod proudu a následovalo pozvolné ochlazování vzorku v peci.

Celkový pohled na uspořádání křemenného dilatometru je na obr. 7-4

### 7.2.3. Stanovení dilatačních vlastností

Ze záznamu zapisovače jsem vyhodnotil velikost absolutních dilatací 1 jednotlivých vzorků a přepočetl je na hodnoty vyjádřené v % podle vztahu

$$\epsilon = \frac{l - l_0}{l_0} \cdot 100\% , \quad (7-3)$$

kde  $l_0$  je počáteční délka vzorku /mm/,

pohybovala se v rozmezí 48 - 50 mm a byla před každým měřením stanovena.

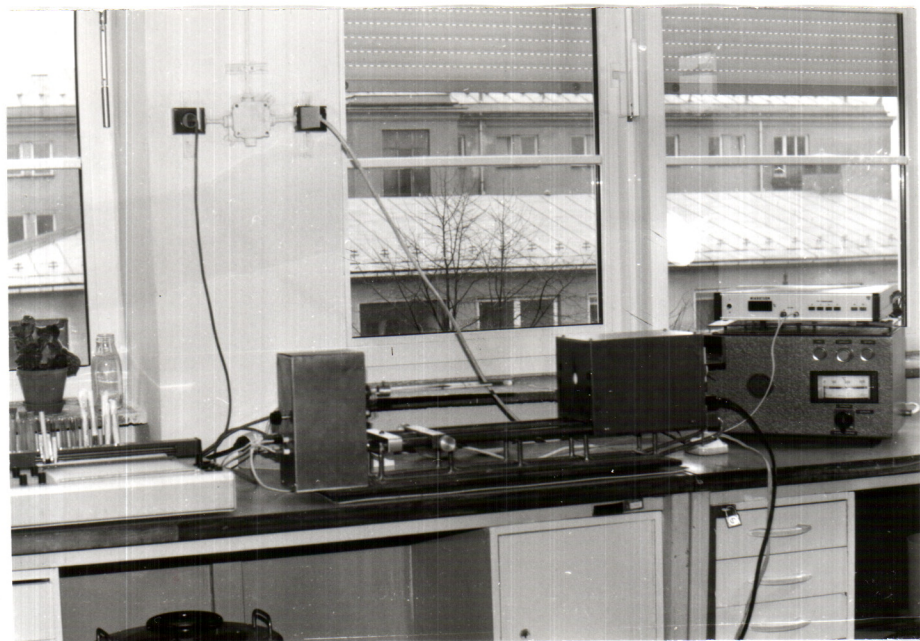
Takto zpracované průběhy poměrných dilatací s teplotou pro jednotlivé druhy skořepin jsou na obr.

7-6÷10 . Z těchto grafů jsem pro srovnání získal hodnoty poměrných dilatací při teplotě  $800^{\circ}\text{C}$ , které uvádím v tabulce 7-7.

Tabulka 7-7 : Hodnoty poměrných dilatací

varianta	I	II	III	IV	V
$\epsilon_{800} [\%]$ za syrova	0,1	0,12	0,15	0,14	0,13
$\epsilon_{800} [\%]$ po vyžíhání	0,15	0,14	0,17	0,16	0,15

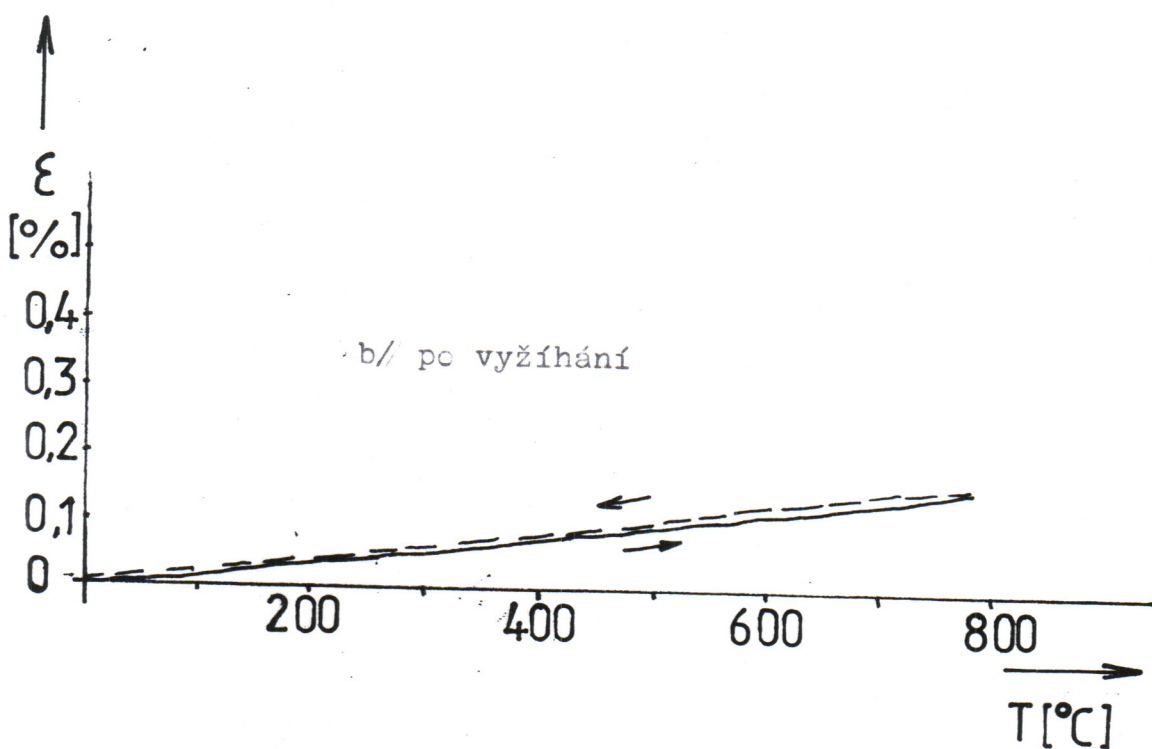
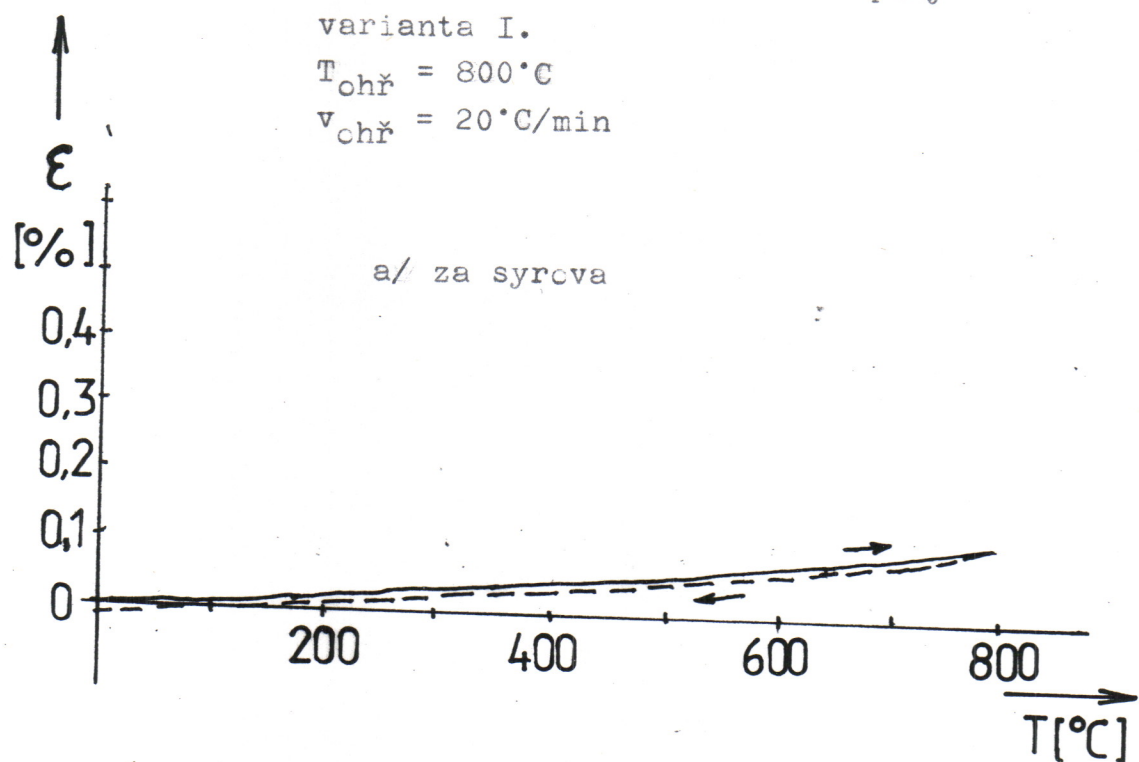
Obrázek 7-4 : Celkové uspořádání křemenného dilatometru v laboratoři KSM



cbr. 7-6 : Dilatogram kombinované skořepiny  
varianta I.

$T_{ohř} = 800^{\circ}\text{C}$

$v_{ohř} = 20^{\circ}\text{C/min}$

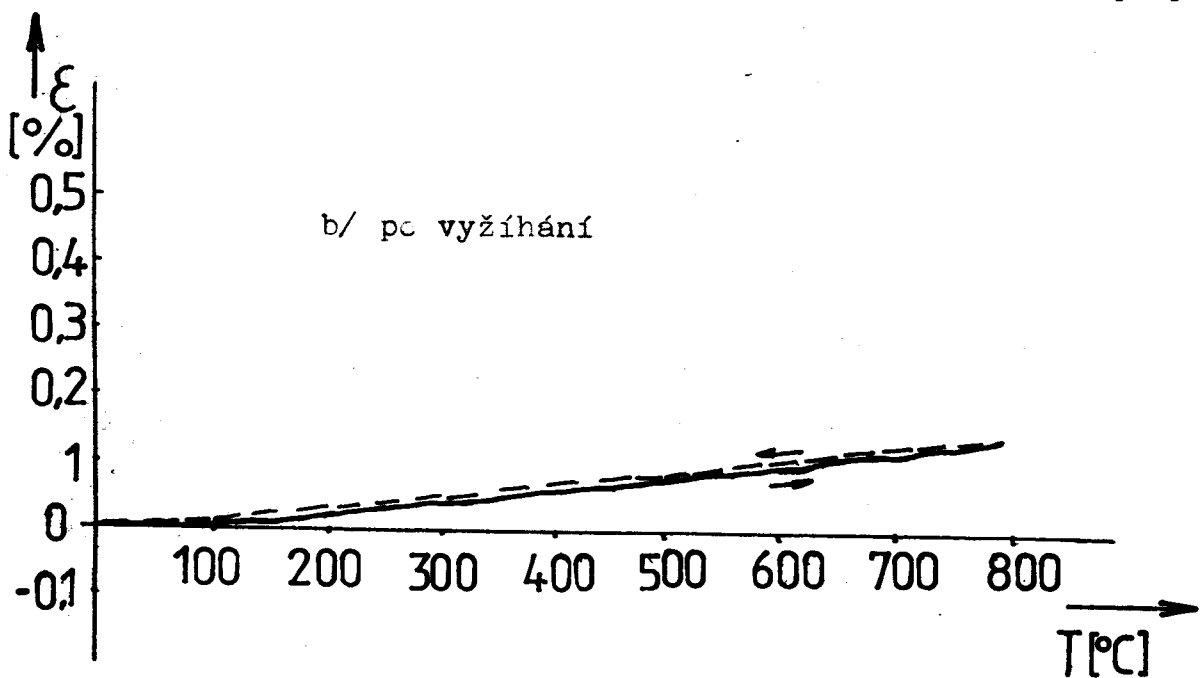
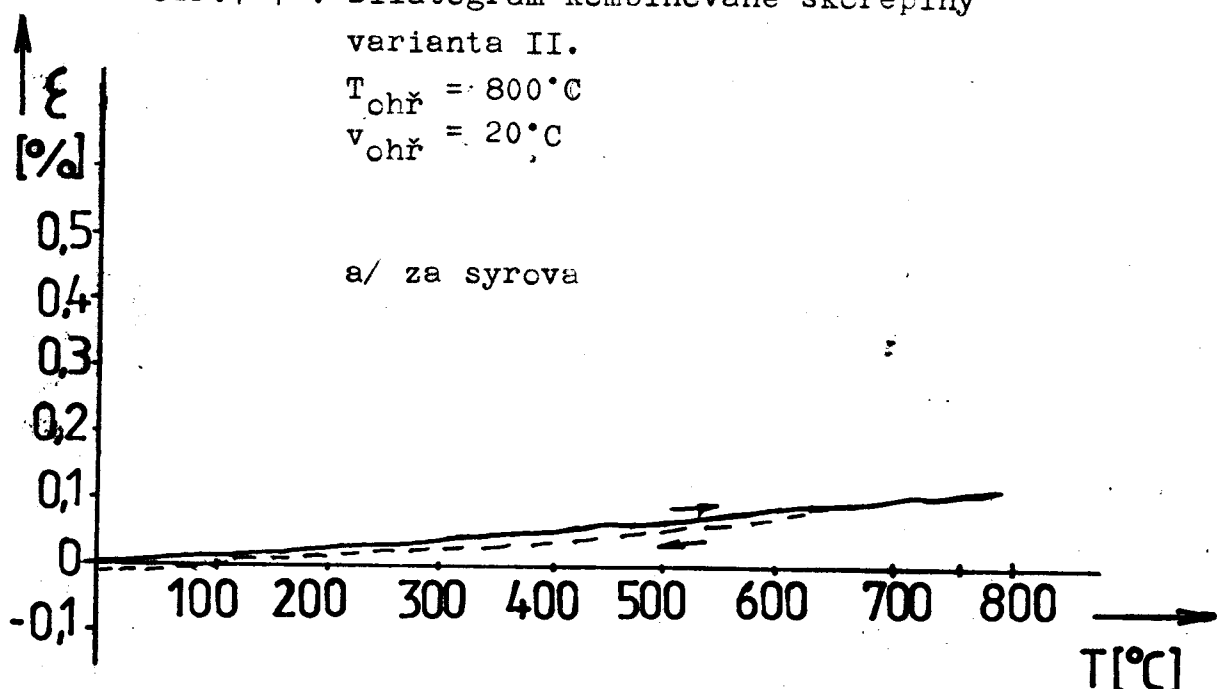


obr. 7-7 : Dilatogram kombinované skořepiny

varianta II.

$T_{chř} = 800^{\circ}\text{C}$

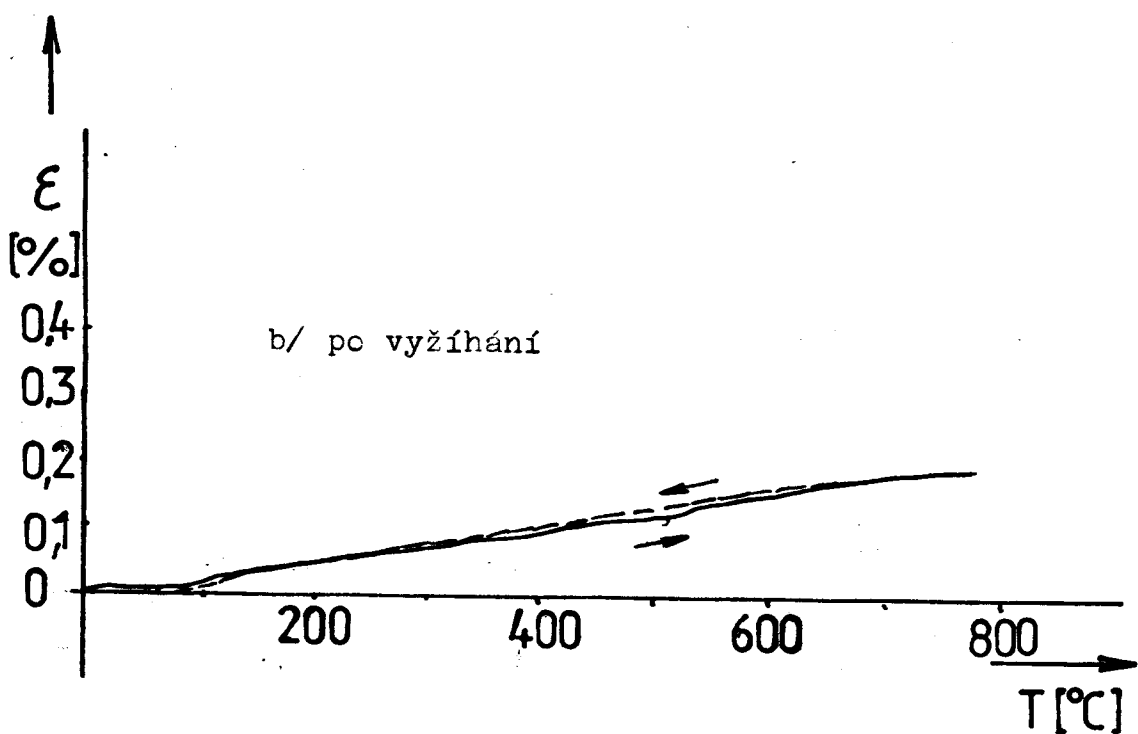
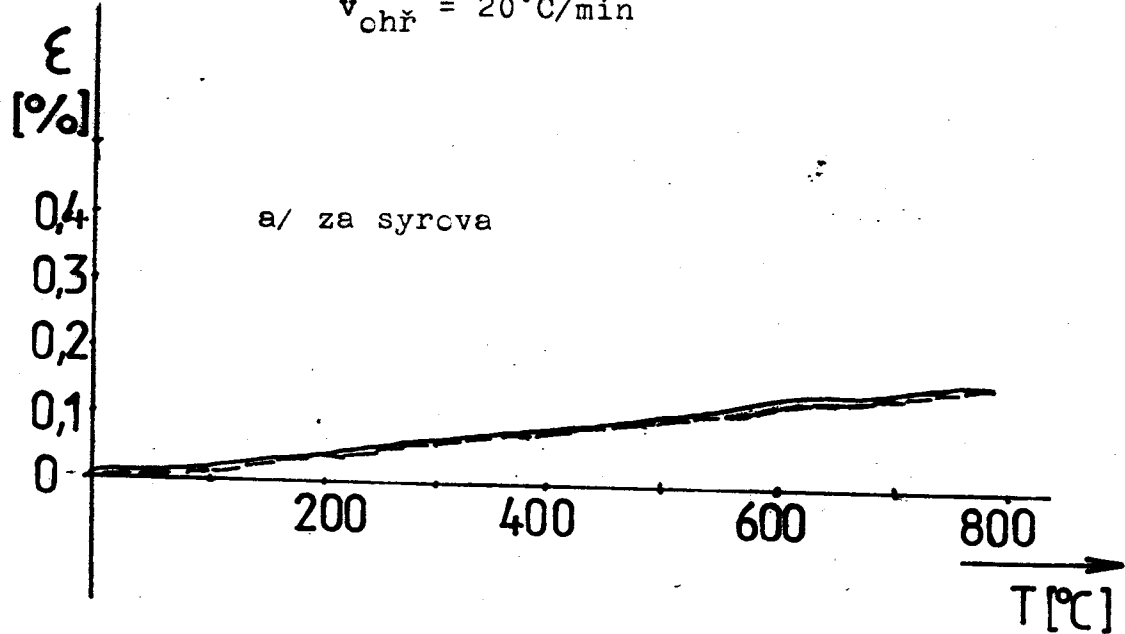
$v_{chř} = 20^{\circ}\text{C}$



cbr.7-8 : Dilatogram kombincované skořepiny  
varianta III.

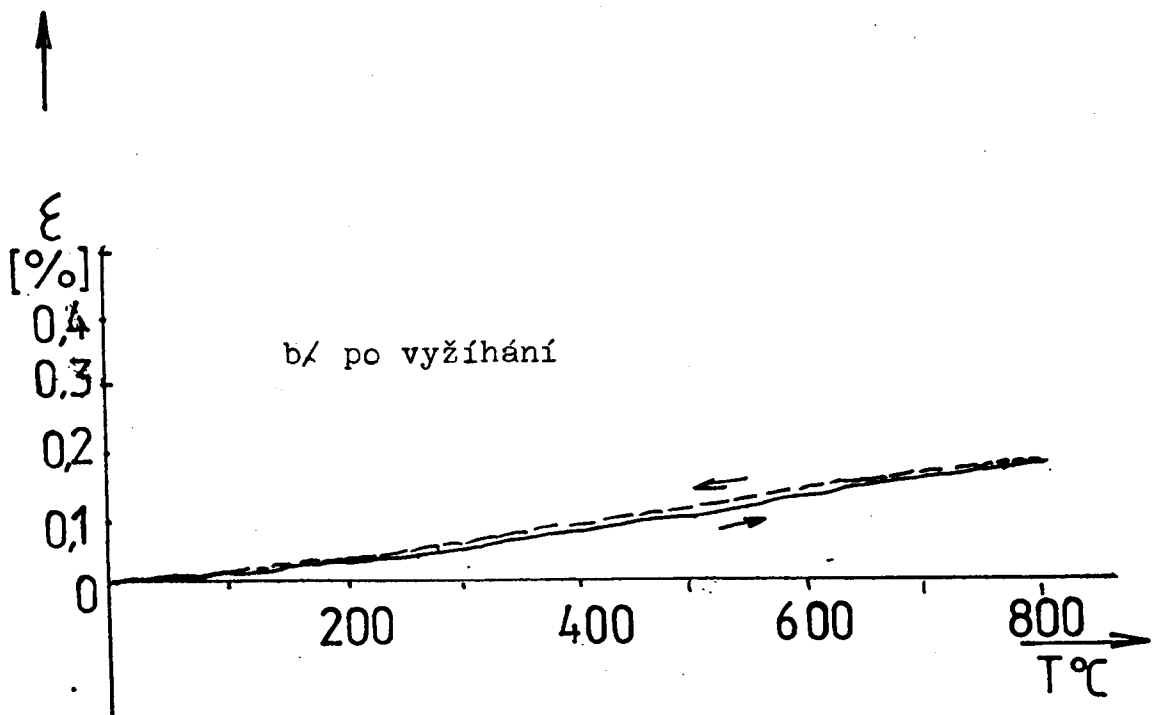
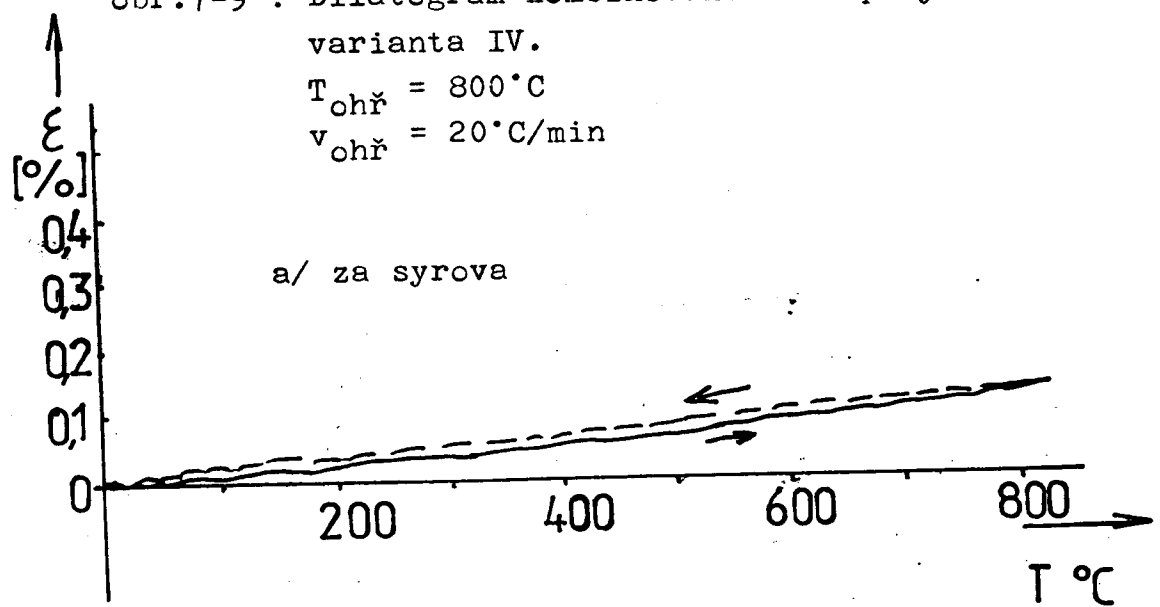
$T_{ohř} = 800^{\circ}\text{C}$

$v_{ohř} = 20^{\circ}\text{C/min}$

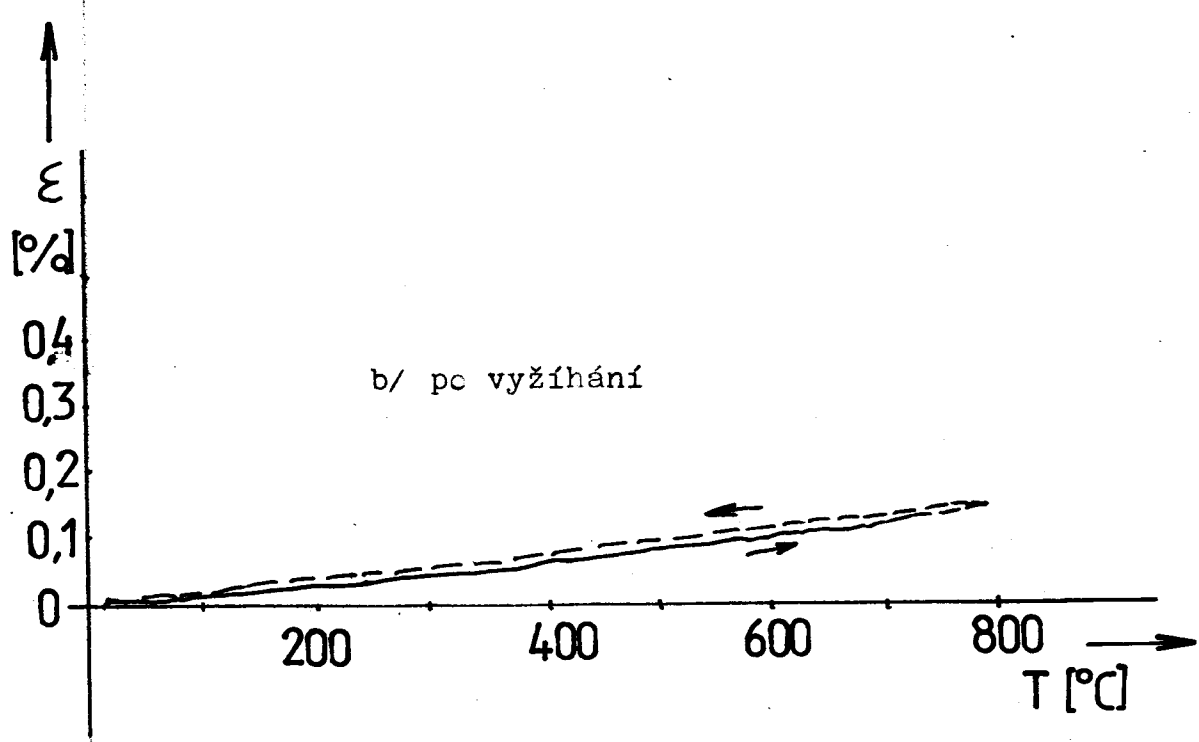
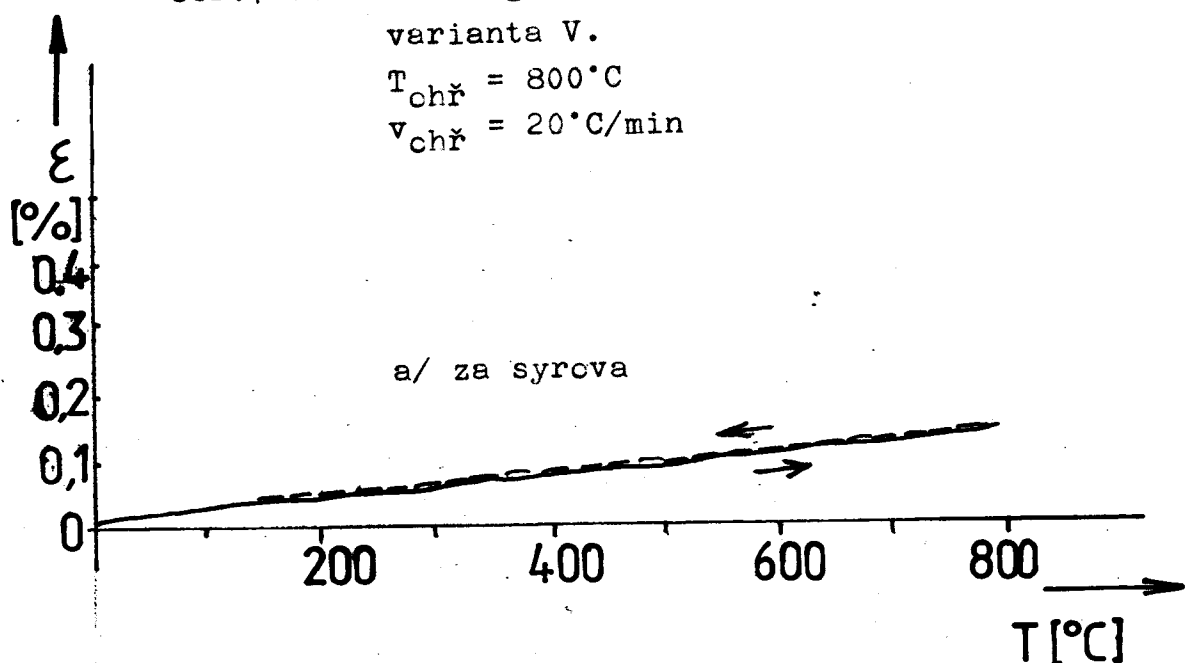


obr. 7-9 : Dilatogram kombinované skořepiny  
varianta IV.

$T_{ohř} = 800^{\circ}\text{C}$   
 $v_{ohř} = 20^{\circ}\text{C/min}$



cbr.7-10 : Dilatogram kombincované skořepiny  
varianta V.



7.3. Diskuse výsledků měření vlastností kombinovaných skořepin

7.3.1. Pevnostní vlastnosti

Z výsledků hodnocení pevnosti skořepin v ohybu /za syrova, po vyžihání/lze vyvodit tyto dílčí závěry :

- Hodnoty pevnosti v ohybu hodnocených skořepinových forem ve všech případech menší než 1,5 MPa, což jsou hodnoty menší než u klasických keramických skořepin křemenných.

- Pořadí jednotlivých variant kombinovaných skořepinových forem od nejvyšší po nejnižší pevnost :

- a/ nejvyšší pevnost dosáhla kombinovaná skořepina MOL-SS-KSM,100 /varianta I/,
- b/ kombinovaná skořepina MOL-SS-KSM,200/varianta II/,
- c/ skořepina ze sádrové směsi SS-KSM /varianta V/,
- d/ kombinovaná skořepina L-SS-KSM,200/varianta IV/,
- e/ nejnižší pevnost byla naměřena u kombinované skořepiny L-SS-KSM,100 /varianta III/.

- Pevnost skořepin po vyžihání je nižší než v stavu syrovém u všech variant. Snížení této pevnosti je však rozdílné, a to v pořadí :

- a/ kombinovaná skořepina MOL-SS-KSM,100 /varianta I/ o . . . . . 18,8%
- b/ kombinovaná skořepina MOL-SS-KSM,200 /varianta II/ o . . . . . 19,7%
- c/ kombinovaná skořepina L-SS-KSM,200 /varianta IV/ o . . . . . 47,5%
- d/ kombinovaná skořepina L-SS-KSM,100 /varianta III/o . . . . . 49,13%

e/ skořepina ze sádrové směsi SS-KSM, 100 /varianta V/ o . . . . . 58,9%.

- V porovnání s výsledky měření pevnosti u kombinovaných skořepin na bázi lupku a sádry, uvedených v pracích /4,6/, bylo u všech variant dosaženo hodnot nižších, a to jak ve stavu syrovém, tak po vyžíhání.

Pravděpodobným důvodem této skutečnosti je, že v uvedených pracech byla sádrová obalovací kaše připravena rozmícháním sádrové směsi s vodou a vazná kapalina pro keramickou břečku obsahovala kolem 15 %  $\text{SiO}_2$ .

Z toho lze vyvodit, že účinek vazné kapaliny na vytvrzování sádrové směsi není stejný jako účinek vody.

- Ani úprava postupu přípravy vazné kapaliny a jejího složení zvýšením množství přidávané vody ne-přinesla zvýšení pevnosti, spíše naopak pevnost u těchto skořepin je nižší /viz obr. 7-3/.

#### 7.3.2. Dilatační vlastnosti

Z grafů č. 7 - 6, 7, 8, 9, 10, a číselných hodnot vyplývá :

- Dosažené průběhy dilatací všech variant kombinovaných skořepin jsou značně odlišné od průběhu dilatací křemenných skořepin. Průběhy jsou pozvolnější, dosahují nižších hodnot dilatací a křivky získané při ochlazování jsou prakticky totožné s křivkami při ohřevu.

- Hodnoty dilatací při teplotě 800°C se pro hodnocení kombinované skořepiny pohybují v rozmezí 0,1 - 0,15 % u skořepin za syrova /nežíhaných/ a 0,14 - 0,17 % u skořepin žíhaných. Ve srovnání s tím jsou hodnoty dilatací křemenných skořepin -  $\epsilon = 1,5 \%$  při teplotě 800°C - téměř desetinásobné.

- Tyto nízké a málo odlišné hodnoty dilatací u všech variant kombinovaných skořepin neumožňují vyhodnotit vliv jednotlivých pozměnujících činitelů.

#### 7.4. Využití výsledků hodnocení vlastností skořepin k návrhu zkušební kombinované skořepinové formy

Na základě dosažených výsledků jednotlivých variant kombinovaných forem jsem pro další laboratorní ověření zvolil variantu I - kombinovaná skořepina MOL - SS - KSM , při normálním složení vazné kapaliny, tj. 100 ml H<sub>2</sub>O/l vazné kapaliny. Tuto variantu jsem zvolil především s ohledem na pevnostní vlastnosti. Dilatační vlastnosti jsou příznivé jako i u dalších variant-

Postupu a výsledkům této části práce je věnovana následující kapitola.

8. OVĚŘOVÁNÍ KOMBINOVANÉ SKOŘEPINOVÉ FORMY PŘI  
ODLÉVÁNÍ ZKUŠEBNÍCH ODLITKŮ Z AL-SLITINY

Po zhodnocení výsledků dosažených v předchozí experimentální části jsem přistoupil k vlastnímu ověřování kombinové skořepinové formy - MOL-SS-KSM, 100 /varianta I/.

Suroviny, které jsem používal pro výrobu předchozích kombinovaných skořepinových forem a této skořepinové formy, pocházejí z dodávky a.s. MESIT - Uherské Hradiště, též voskové modely stromečků a modely tvarové.

Celkové uspořádání pracoviště v laboratoři katedry strojírenské metalurgie, na kterém se uskutečňovala výroba skořepinové formy, je na obr. 8-1.

8.1. Výroba voskového stromečku

Na speciální přípravek, používaný v a.s. MESIT, se nejdříve nasadí kruhová vtoková soustava, potom se nasadí distanční válečky, kterými se volí výška vtokového kúlu. Na horní konec vtokového kúlu se nasadí vtoková jamka a na spodní stranu se nasadí voskové víčko. Pak se celý sestavený stromeček /bez modelů/ ponocří do voskové hmoty, tím se zalijí spáry, které by mohly být příčinou některých vad odlitků.

Celkový pohled na takto připravený stromeček je na obr. 8-2.

Vlastní voskové modely byly použity dvou typů:

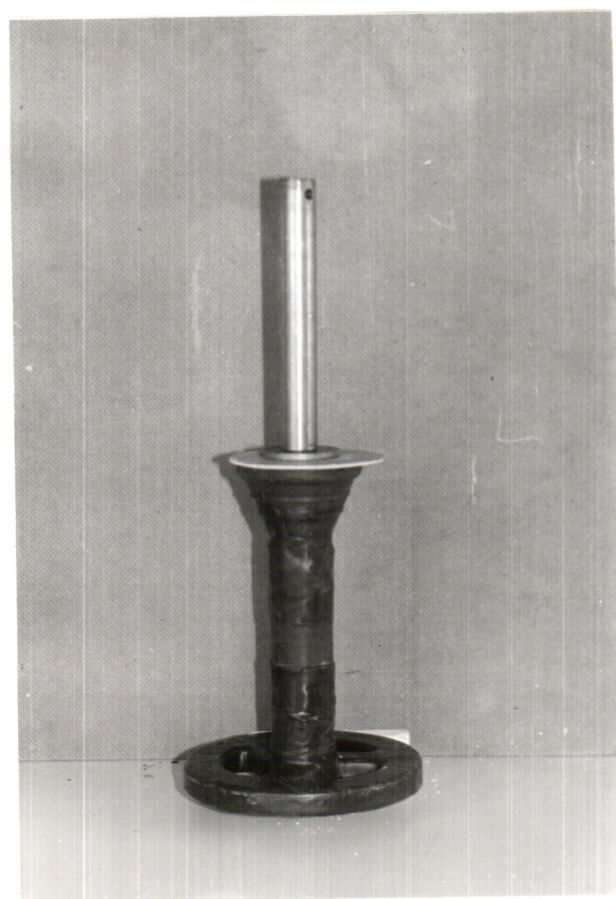
- voskové modely pro hodnocení rozměrové přesnosti s válcovými plochami různých průměrů,
- voskové modely vybraných tvarových odlitků.

Před připájením modelů na vtokovou soustavu stromečku jsem změřil rozměry voskových modelů na hodnocení rozměrové přesnosti. Tyto hodnoty jsou uvedeny v tabulce 8-1,2,3.

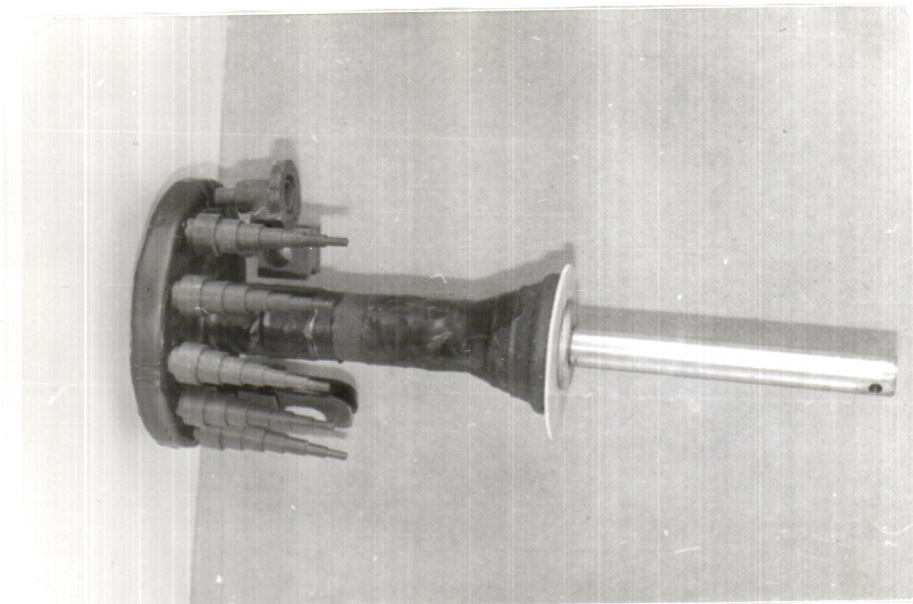
obr.8-1 : Pracoviště v laboratoři KSM



obr.8-2 : Neosazený stromeček



obr.8-3 : Osazený voskový stromeček



obr.8-4 : Obalený voskový stromeček



Připájení modelů jsem provedl elektrickou odporovou pájkou.

Při osazování stromečku modely se musí dbát na to, aby mezi modely byla dostatečná mezera pro vznik skořepiny o požadované tloušťce. Osazený stromeček voskovými modely je na obr. 8-3.

Po takto připravených voskových stromečcích následovala příprava obalovacích směsí.

#### 8.2. Příprava obalových formovacích směsí /břeček/

Jak už bylo uvedeno, použil jsem k vytvoření kombinované skořepinové formy dva druhy obalových břeček dle varianty I. (viz. obr. 8-4)

Keramická obalovací břečka : Byla připravena vmícháním molochitu do vazné kapaliny s obsahem přibližně 12%  $\text{SiO}_2$ . Viskozita břečky byla upravena na hodnotu doby výtoku z Fordova pohárku 6mm - 15 s. Před nanášením každého keramického obalu byla břečka důkladně promíchána.

Sádrová obalovací břečka : Byla připravena z vazné kapaliny a sádrové směsi uvedeného složení. Na rozdíl od předchozích zkoušek, kde byla použita sádrová směs předem homogenizovaná v suchém stavu, jsem na základě námětu Ing. J. Cilečka připravoval sádrovou obalovací břečku postupným vmícháváním jednotlivých složek sádrové směsi odděleně přímo do vazné kapaliny při zachování předepsaného složení směsi. Na 2,25 l vazné kapaliny jsem spotřeboval celkem 4150 g sádrové směsi. Jednotlivé složky jsem přidával v menších dávkách a vždy jsem po promíchání měřil viskozitu břečky dobou výtoku z Fordova pohárku 6mm. Přehled o tomto postupu udává tabulka č. 8-1. Výsledná viskozita byla pak upravena na dobu 15 s.

### 8.3. Výroba kombinovaných skořepinových forem

#### 8.3.1. Obalování voskových stromečků

Před zahájením obalování jsem stromečky od-mastil v etylalkoholu, aby první obal dokonale přilnul. Jednotlivé obaly jsem nanášel podle předpisu pro variantu I/viz.tab. 6-1/.

Posypávání nanesených obalů jsem prováděl gra-vitačně v proudu volně se sypajícího materiálu.

Tabulka 8-1 : Přehled množství jednotlivých složek sádrové směsi SS-KSM

		Přidávaná množství jednotlivých složek				
objem vaz. kapaliny l		křemen. moučka g	lupek g	sádra polštá g	celk. hmotnost g	visko- zita s
2,25	1	500	200	300	1000	4
"	2	250	100	150	500	5
"	3	250	100	150	500	6
"	4	250	100	150	500	7
"	5	250	100	150	500	8
"	6	250	100	150	500	9
"	7	250	100	150	500	12
"	8	50	20	30	100	13
"	9	50 g již homogenizované směsi			50	15
celkem		2050	820	1230	4150	

Při použití tohoto postupu tvorby sádrové obalovací kaše se musí značně prodloužit doba míchání, aby došlo k dokonalému promíchání vlastní směsi s vaznou kapalinou.

### 8.3.2. Sušení obalů

Sušení jednotlivých obalů probíhalo na pracovišti při teplotě  $20 \pm 2$  °C. Doby sušení pro jednotlivé obaly jsou uvedeny v kapitole 6.5.1.

### 8.3.3. Vytavování modelů

Před vytavením jsem odstranil kovový držák, který je součástí přípravku na sestavení voskového strojmečku. V elektrické sušce jsem si předem připravil závesné zařízení a nádobu na vytavený vosk.

Kombinované skořepinové formy byly vloženy do již předehřáté sušky na teplotu 250°C. Jelikož v tomto zařízení, vlivem tepelného sálaní, se forma i voskový strojmeček ohřívaly stejně, nedošlo k vytvoření dilatační spáry před dilatací voskové hmoty, což mělo za následek poškození vtokového kúlu a popraskání vtokové soustavy.

Toto porušení je zřetelné na obr. 8-

Nevýhodou tohoto způsobu vytavování je velký vývin splodin, které unikaly do volného prostoru pracoviště.

### 8.3.4. Žíhání skořepinových forem

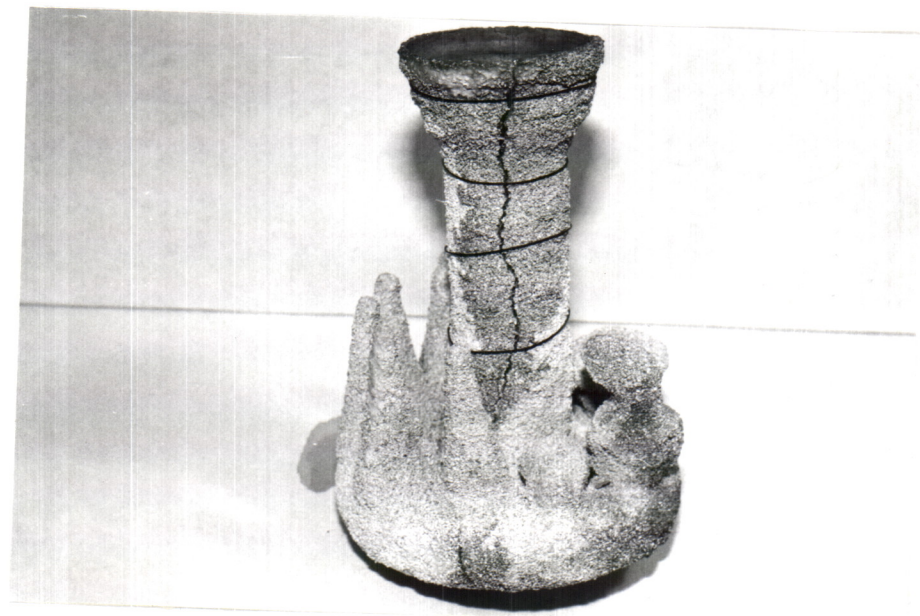
Žíhání skořepinových forem jsem realizoval v elektrické odporové peci. Kombinované skořepinové formy jsem vložil do chladné pece a začal plynule ohřívat. Žíhání forem probíhalo podle žíhacího diagramu 6-1, kapitola 6.5.4. Chladnutí forem probíhalo ve vypnuté a uzavřené peci.

Obr. 8-6 znázorňuje vyžíhanou skořepinu. Na tomto obrázku je viditelně prasklý vtokový kúl - následek při vytavování modelů.

obr.8-5 : Vytavená skořepina



obr.8-6 : Vyžíhaná skořepinová forma



#### 8.4. Odlévání

K odlití zkušebních odliteků jsem použil hliníkovou slitinu ČSN 42 43 31, která byla roztažena v elektrické odporové peci. Teplota lití ve všech případech byla ve všech případech 720°C. Zároveň s počátkem tavby jsem si připravil skořepinové formy. Vzhledem k jejich popraskání jsem zvolil zasypání skořepiny křemenným pískem a nechal předelehřát v elektrické peci.

Teploty předelehřevu formy jsem zvolil :

- 20°C .... nepředelehřátá - 1 forma
- 150°C .... předelehřátá v peci - 1 forma
- 300°C .... předelehřátá v peci - 1 forma.

Po odlití všech tří forem jsem je nechal chladnout zasypané na volném vzduchu. Zasypaná skořepina je znázorněna na obr. 8-7

#### 8.5. Vytloukání odliteků

Po vychladnutí celé soustavy odlitek-kombinovaná skořepinová forma, jsem před vlastním vytloukáním odliteků ponořil formy do vody na určitou vodu :

- 1/.....10min
- 2/.....35min
- 3/.....60min.

V prvním případě šla skořepina odstranit z vnějších ploch odliteků údery ručním kladivem na vtokovou soustavu. Materiál skořepiny se již velmi těžko odstraňoval z otvorů, dutin a drážek /viz obr. 8-8 b/

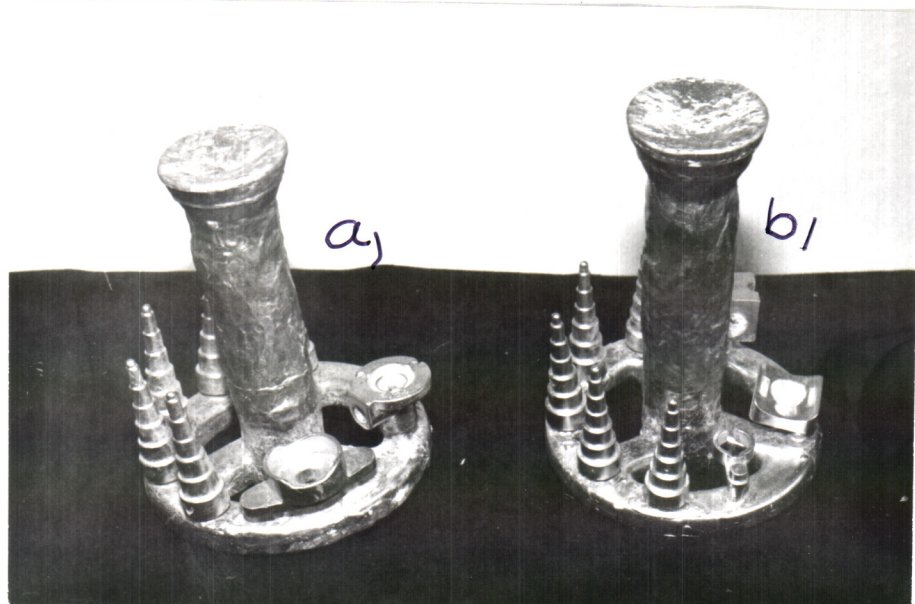
Ve druhém případě šla skořepina odstranit z vnějších ploch opět údery ručním kladivem. Z otvorů a dutin se dal materiál skořepiny odstranit pomocí kovo-vého nástroje.

Po 60 minutách ponoření skořepiny ve vodě se materiál formy, na některých místech, dal sejmout rukou.

cbr.8-7 : Zasypaná skořepinová forma



cbr.8-8 : Výsledné odlitky



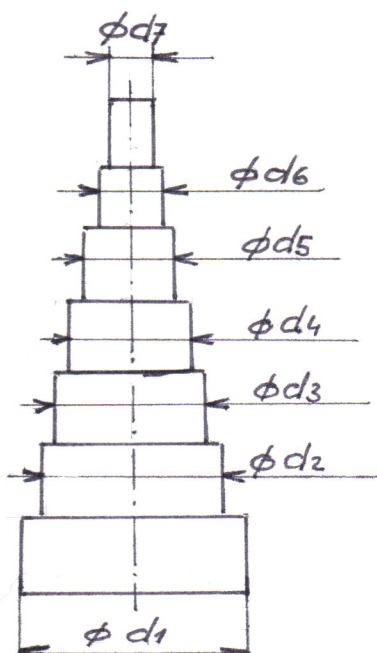
Jinak jsem použil opět údery ručním kladivem na vtokovou soustavu. Z otvorů lze materiál odstranit nástrojem poměrně snadno.

#### 8.6. Hodnocení zkušebních odliteků

##### 8.6.1. Hodnocení rozměrové přesnosti

Po vytlučení odlitků z formy a jejich očištění jsem změřil výsledné odlitky na rozměrovou přesnost. /viz. obr. 8-9/.

Naměřené hodnoty jsou uvedeny v tabulce 8-4, 5, 6.



Obrázek 8-9 : Schéma modelu a odlitku pro hodnocení rozměrové přesnosti

Tabulka 8-1 : Rozměrová přesnost - voskové modely  
 /A - bez předehřevu formy /

č. m.	$\phi d_1$ [mm]	$\phi d_2$ [mm]	$\phi d_3$ [mm]	$\phi d_4$ [mm]	$\phi d_5$ [mm]	$\phi d_6$ [mm]	$\phi d_7$ [mm]
1	19,75	15,85	12,95	10	7,95	6,0	4,0
2	19,8	15,85	12,95	9,95	7,95	5,95	4,0
3	19,75	15,9	12,95	10,0	8,0	5,95	4,0
4	19,8	15,85	13,0	9,95	7,95	5,95	4,0
5	19,75	15,85	12,95	10,0	7,95	5,95	3,95

Tabulka 8-2 : Rozměrová přesnost - voskové modely  
 /B - forma s předehřevem - 150°C /

č. m.	$\phi d_1$ [mm]	$\phi d_2$ [mm]	$\phi d_3$ [mm]	$\phi d_4$ [mm]	$\phi d_5$ [mm]	$\phi d_6$ [mm]	$\phi d_7$ [mm]
1	19,8	15,85	12,9	10,0	7,95	6,0	4,0
2	19,75	15,85	12,95	9,95	7,95	5,95	4,0
3	19,75	15,9	12,95	10,99	7,95	6,00	4,0
4	19,8	15,85	12,90	9,95	7,95	5,95	4,0
5	19,75	15,90	12,95	10,0	7,95	5,95	4,0

Tabulka 8-3 : Rozměrová přesnost - voskové modely  
 /C - forma s předehřevem - 300°C /

č. m.	$\phi d_1$ [mm]	$\phi d_2$ [mm]	$\phi d_3$ [mm]	$\phi d_4$ [mm]	$\phi d_5$ [mm]	$\phi d_6$ [mm]	$\phi d_7$ [mm]
1	19,8	15,85	12,9	9,95	7,95	6,00	4,00
2	19,75	15,85	12,90	9,95	7,95	6,00	4,00
3	19,75	15,85	12,95	9,95	7,95	5,95	4,00
4	19,8	15,9	12,95	9,95	7,9	6,0	4,00
5	19,75	15,85	12,95	10,0	7,95	6,0	4,00

Tabulka 8-4 : Rozměrová přesnost - odlitky  
 / A - bez předehřevu formy /

č. m.	$\phi d_1$ [mm]	$\phi d_2$ [mm]	$\phi d_3$ [mm]	$\phi d_4$ [mm]	$\phi d_5$ [mm]	$\phi d_6$ [mm]	$\phi d_7$ [mm]
1	19,55	15,65	12,7	9,85	7,85	5,9	4
2	19,55	15,7	12,75	9,8	7,9	5,9	4
3	19,6	15,7	12,8	9,8	7,9	5,9	3,95
4	19,55	15,65	12,75	9,8	7,9	5,85	3,95
5	19,55	15,7	12,8	9,85	7,85	5,85	3,95

Tabulka 8-5 : Rozměrová přesnost - odlitky  
 / B - forma s předehřevem - 150°C /

č. m.	$\phi d_1$ [mm]	$\phi d_2$ [mm]	$\phi d_3$ [mm]	$\phi d_4$ [mm]	$\phi d_5$ [mm]	$\phi d_6$ [mm]	$\phi d_7$ [mm]
1	19,7	15,75	12,7	9,85	7,9	5,9	3,95
2	19,65	15,7	12,75	9,85	7,95	5,9	4,0
3	19,6	15,7	12,75	9,8	7,95	5,9	3,95
4	19,6	15,7	12,7	9,8	7,9	5,85	4,0
5	19,65	15,75	12,75	9,85	7,95	5,9	4,0

Tabulka 8-6 : Rozměrová přesnost - odlitky  
 / C - forma s předehřevem - 300°C /

č. m.	$\phi d_1$ [mm]	$\phi d_2$ [mm]	$\phi d_3$ [mm]	$\phi d_4$ [mm]	$\phi d_5$ [mm]	$\phi d_6$ [mm]	$\phi d_7$ [mm]
1	19,5	15,65	12,75	9,85	7,95	5,95	4,00
2	19,5	15,6	12,8	9,8	7,95	5,95	4,00
3	19,55	15,6	12,75	9,85	7,9	5,95	3,95
4	19,5	15,65	12,8	9,85	7,9	6,0	4,00
5	19,55	15,6	12,8	9,9	7,95	5,95	4,00

$A_{jm}$  - rozměry modelu

$A_{sk}$  - rozměry odlitku

$$x_i = A_{jm} - A_{sk} \quad (8-1)$$

hodnoty vypočítané ze vztahu 8-1 jsou uvedeny v tabulce 8-7, 8, 9.

Tabulka 8-7 :  $x_i = A_{jm} - A_{sk}$  .../A bez předehřevu/

č. m.	$x_i$ $\phi d_1$ [mm]	$x_i$ $\phi d_2$ [mm]	$x_i$ $\phi d_3$ [mm]	$x_i$ $\phi d_4$ [mm]	$x_i$ $\phi d_5$ [mm]	$x_i$ $\phi d_6$ [mm]	$x_i$ $\phi d_7$ [mm]
1	0,2	0,2	0,25	0,15	0,1	0,1	0
2	0,25	0,15	0,2	0,15	0,05	0,05	0
3	0,15	0,2	0,15	0,2	0,1	0,05	0,05
4	0,25	0,2	0,25	0,15	0,05	0,1	0,05
5	0,2	0,15	0,15	0,15	0,1	0,1	0
$\bar{x}_i$	0,21	0,18	0,2	0,16	0,08	0,08	0,02

Tabulka 8-8 :  $x_i = A_{jm} - A_{sk}$  .../B forma s předehřevem/

č. m.	$x_i$ $\phi d_1$ [mm]	$x_i$ $\phi d_2$ [mm]	$x_i$ $\phi d_3$ [mm]	$x_i$ $\phi d_4$ [mm]	$x_i$ $\phi d_5$ [mm]	$x_i$ $\phi d_6$ [mm]	$x_i$ $\phi d_7$ [mm]
1	0,1	0,1	0,2	0,15	0,05	0,1	0,05
2	0,1	0,15	0,2	0,1	0,0	0,05	0,0
3	0,15	0,2	0,2	0,2	0,0	0,1	0,05
4	0,2	0,15	0,2	0,15	0,05	0,1	0,0
5	0,1	0,15	0,2	0,15	0,0	0,1	0,0
$\bar{x}_i$	0,13	0,15	0,2	0,15	0,02	0,09	0,02

Tabulka 8-9 :  $x_i = A_{jm} - A_{sk}$  ... /C-forma s předehřevem 300°C/

č. m.	$x_i$ $\phi d_1$ [mm]	$x_i$ $\phi d_2$ [mm]	$x_i$ $\phi d_3$ [mm]	$x_i$ $\phi d_4$ [mm]	$x_i$ $\phi d_5$ [mm]	$x_i$ $\phi d_6$ [mm]	$x_i$ $\phi d_7$ [mm]
1	0,3	0,2	0,15	0,1	0,0	0,05	0,0
2	0,25	0,25	0,1	0,15	0,0	0,05	0,0
3	0,2	0,25	0,2	0,1	0,05	0,0	0,05
4	0,3	0,25	0,15	0,1	0,0	0,0	0,0
5	0,2	0,25	0,15	0,1	0,0	0,05	0,0
$x_i$	0,25	0,24	0,15	0,11	0,01	0,03	0,01

Pomocí matematické statistiky jsem spočetl střední hodnoty a směrodatné odchylky.

$$\bar{x}_i = f(A_{jm})$$

$$R = \pm 3\sqrt{n} \quad (8-2)$$

Vypočtené udaje jsou uvedeny v tabulce 8-10

Tabulka 8-10 : Statistické vyhodnocení - /forma-A/

$A_{jm}$ [mm]	4 $\phi d_7$	6 $\phi d_6$	8 $\phi d_5$	10 $\phi d_4$	13 $\phi d_3$	16 $\phi d_2$	20 $\phi d_1$
$x_i$	0,02	0,08	0,08	0,16	0,2	0,18	0,21
$\sqrt{n}$	0,024	0,024	0,024	0,02	0,0447	0,0244	0,037
$R_{\pm}$	0,0730	0,0730	0,0730	0,06	0,134	0,0734	0,1122

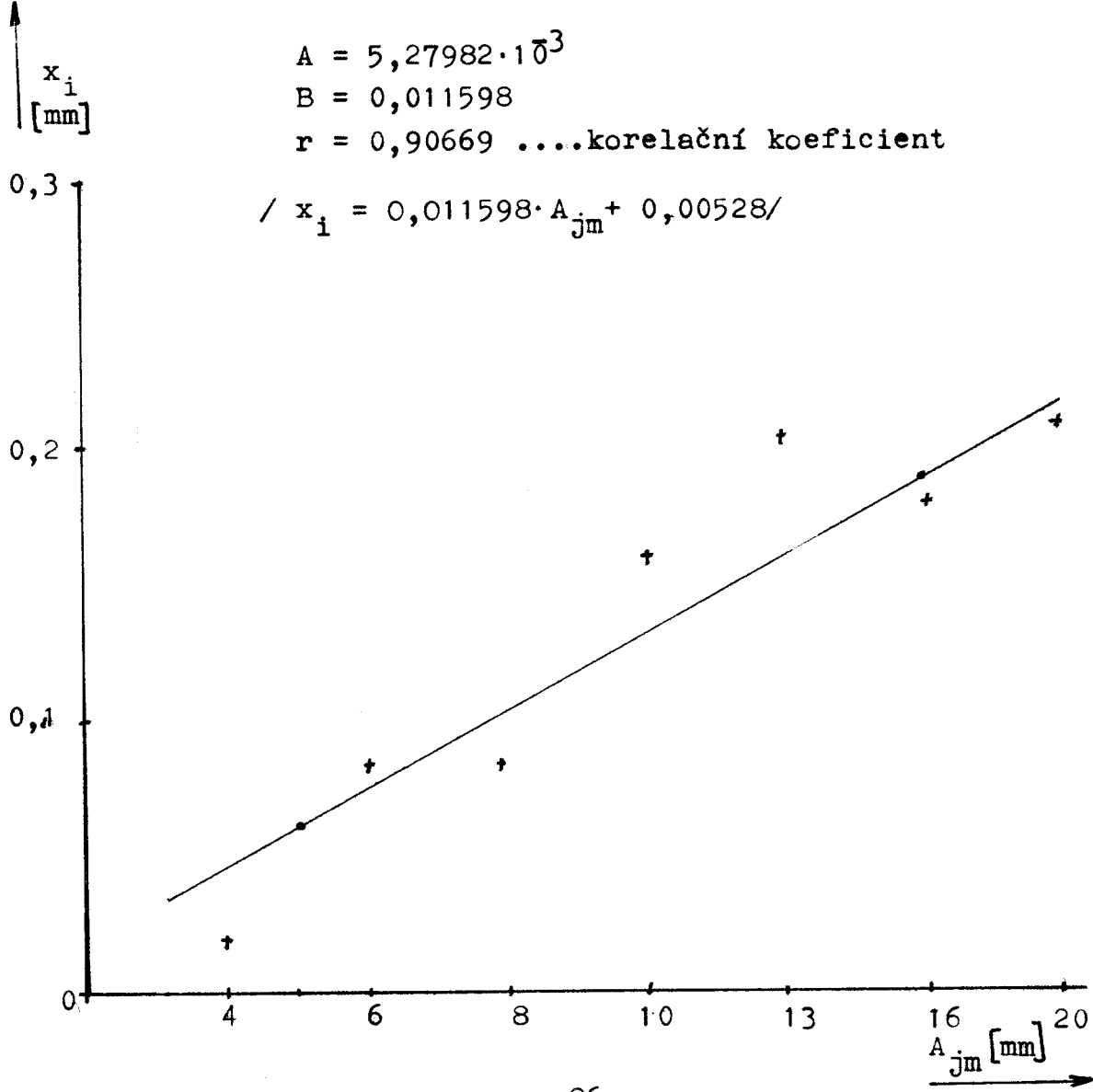
Tabulka 8-11 : Statistické vyhodnocení - /forma -B/

$A_{jm}$ [mm]	4 $\phi d_7$	6 $\phi d_6$	8 $\phi d_5$	10 $\phi d_4$	13 $\phi d_3$	16 $\phi d_2$	20 $\phi d_1$
$x_i$ [mm]	0,02	0,09	0,02	0,15	0,02	0,15	0,13
$\sqrt{n}$	0,024	0,02	0,024	0,031	0,024	0,031	0,04
$R_{\pm}$	0,0734	0,06	0,0734	0,0948	0,0734	0,0948	0,12

Tabulka 8-12 : Statistické vyhodnocení - /forma - C/

$A_{jm}$ (mm)	4 $\phi d_7$	6 $\phi d_6$	8 $\phi d_5$	10 $\phi d_4$	13 $\phi d_3$	16 $\phi d_2$	20 $\phi d_1$
$\bar{x}_i$ [mm]	0,01	0,03	0,01	0,11	0,15	0,24	0,25
$\sigma_n$	0,02	0,0244	0,02	0,02	0,031	0,02	0,044
$R_+$	0,06	0,0734	0,06	0,0948	0,06	0,06	0,1341

Pomocí náhradní lineární závislosti jsem sestrojil z těchto hodnot grafické znázornění -  $y = A + Bx$   
 obr. 8-10 : Za studena odlitá forma - A



**obr.8-II : Forma předehřátá na 150°C - B**

$$y = A + Bx \quad , \quad y = A + B \cdot \ln x$$

$$A = 0,01708$$

$$B = 0,00598$$

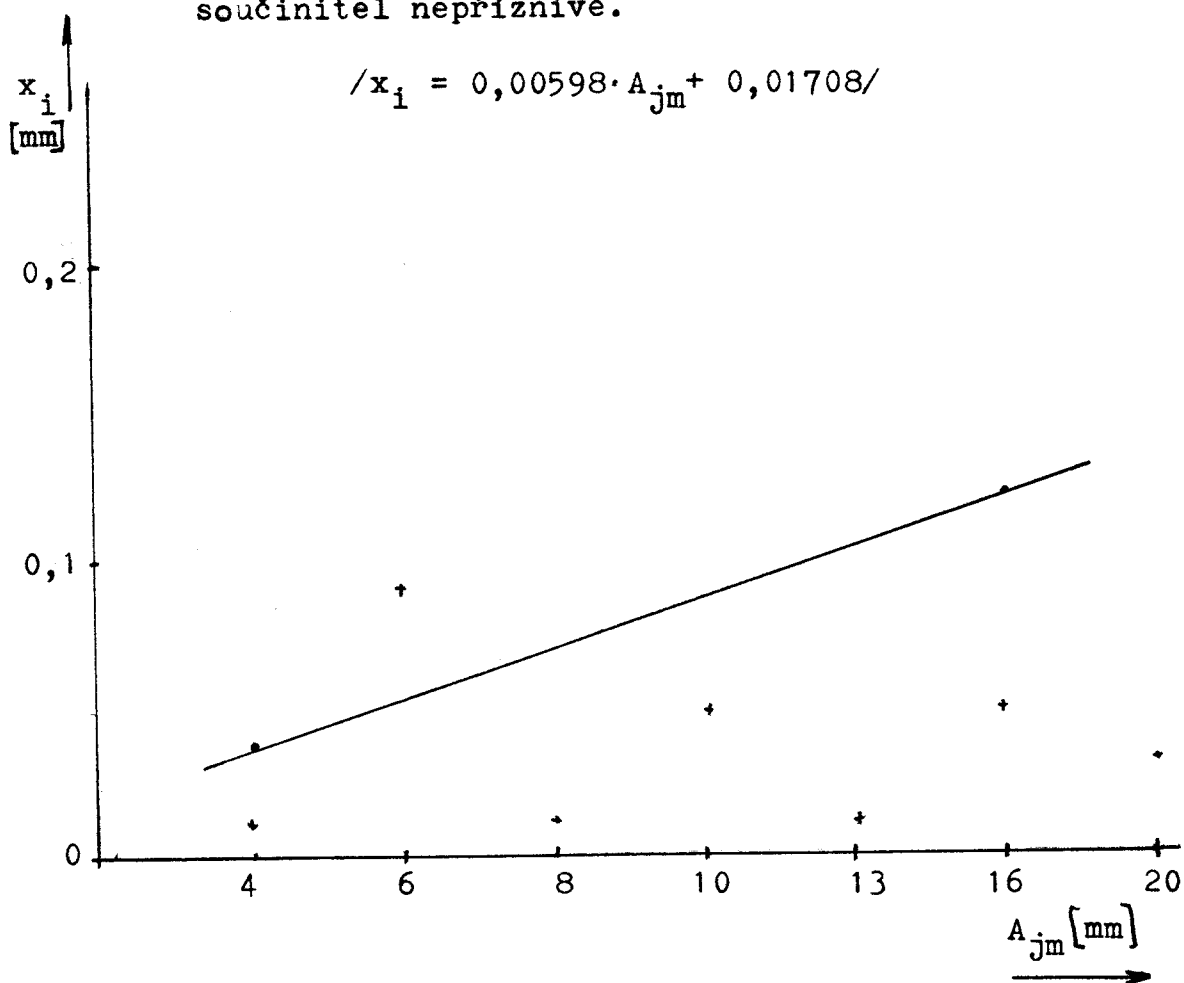
$$r = 0,54746$$

$$A = -0,05446$$

$$B = 0,06048$$

$$r = 0,54991$$

U obou náhradních závislostí vychází korelační součinitel nepříznivě.



obr.8-12 : Forma předeheřatá na  $300^{\circ}\text{C}$  - C

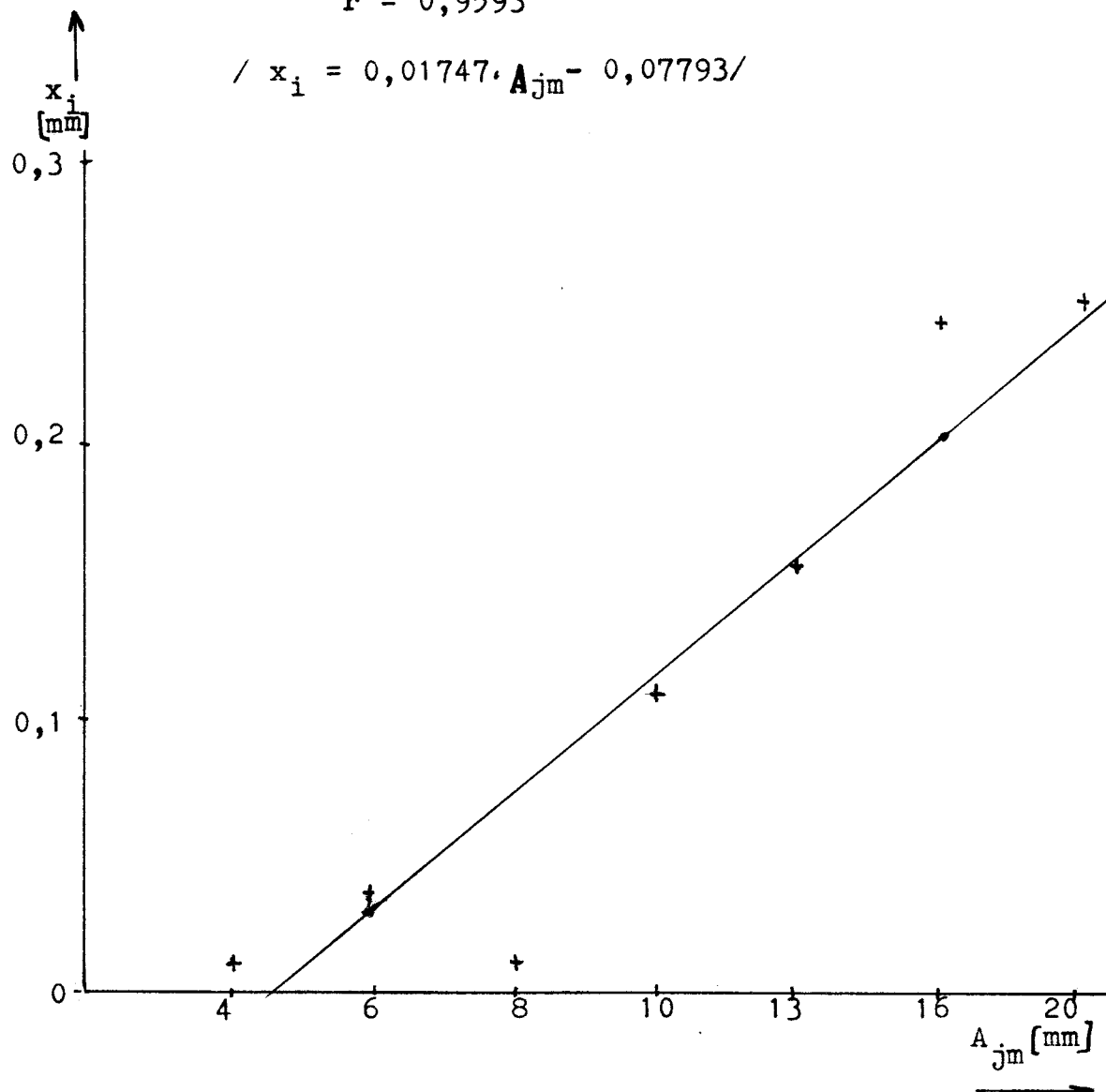
$$x = A + Bx$$

$$A = -0,07793$$

$$B = 0,01747$$

$$r = 0,9593$$

$$/ x_i = 0,01747 \cdot A_{jm} - 0,07793 /$$



Hodnoty korelačního koeficientu jsou blízké 1 u studené formy a u formy předehřáté na teplotu 300°C, t.zn. že je zde velmi těsný vztah náhradní lineární závislosti.

U formy předehřáté na teplotu 150°C tento koeficient není blízký 1.

#### 8.6.2. Hodnocení jakosti tvarových odliků

Po odstranění skořepiny a očištění výsledných odliků jsem kromě měření rozměrové přesnosti kontroloval též tvarovou jakost odliků. Nejběžnější vadou bylo nezaběhnutí taveniny. Z celkového počtu odliků -7 vykazovalo nezaběhnutí všech 7 odliků na stromečku. Jednalo se o tenké průřezy, v nichž se projevila nižší prodyšnost skořepinové formy a také nižší metalostatický tlak kovu s ohledem na umístění modelů na stromečku.

Povrch odliků vykazoval v některých místech vady - mělké prohlubniny - způsobené pravděpodobně nečistotami a různým poškozením povrchu voskových modelů, vzniklými manipulací s nimi, případně jejich dopravou.

Dá se říci, že převážná část odliku byl lesklý povrch s nízkou drsností.

Další viditelné vady, které by např. svědčily o porušení jednotlivých obalů kombinované skořepiny, jsem na odlitcích neshledal.

#### 8.7. Shrnutí zkušeností z ověřování kombinované skořepinové formy

Na základě zhodnocení celého postupu přípravy zkušebních kombinovaných skořepinových forem, odlévání zkušebních odliků i hodnocení jejich jakosti mohu

konstatovat:

a - Použitá varianta I složení kombinované skořepiny vyhověla pro přípravu zkušebních forem a jejich odlití.

b - Pro přípravu sádrové obalovací břečky lze použít metody postupného v míchání jednotlivých složek směsi do vazné kapaliny při zachování předepsaného složení. Metoda je však časově náročnější než příprava břečky z předem homogenizované směsi.

c - Vytavování modelů v peci není nevhodnější metodou. Doporučuji ověřit vytavování v autoklávu.

d - Vzhledem k popsaným problémům s vytavováním v peci nebylo k odlévání použito kombinovaných skořepin samonosných, ale zasypaných. Proto doporučuji se i na tuto otázku ještě zaměřit.

e - Po odlití bylo možno skořepinu z odliatků poměrně snadno odstranit po předchozím ponoření do vody na určitou dobu.

## 9. SHRNUTÍ A ZÁVĚRY Z PROVEDENÝCH PRACÍ

V experimentální části jsem provedl :

- 1/ Návrh 5 variant kombinovaných skořepinových forem -na bázi lupku a sádry  
-na bázi molochitu a sádry  
-ze sádrové směsi

s jedním druhem pojiva - vazné kapaliny.

2/ Hodnocení vlastností těchto navržených kombinovaných skořepinových forem. Potvrdilo se vhodné použití metod hodnocení kombinovaných skořepin. Tyto metody podávají objektivní obraz o vlastnostech skořepin.

Z hodnot pevnosti skořepin v ohybu vyplýnula ~~výhodnost~~<sup>ne</sup> zvoleného ředícího poměru - 1,5 : 1. Pevnost se snížila vlivem snížení %SiO<sub>2</sub>, žíháním a částečně i zvýšením obsahu H<sub>2</sub>O ve vazné kapalině.

Dilatace těchto kombinovaných skořepinových forem mají nízké hodnoty a příznivý průběh při ohřevu i při ochlazování.

3/ Přípravu zkušební kombinované skořepinové formy pro odlití tvarových odlitrků. Po odlití a vychladnutí skořepiny se materiál poměrně snadno dal odstranit z vnějších ploch odlitrků. Z vnitřních dutin se materiál skořepiny odstraňoval nejhůře u skořepiny, která byla odlite ve studeném stavu.

4/ Hodnocení rozměrové a tvarové přesnosti odlitrků. Výsledné odlity vykazovaly menší odchyly od rozměru voskových modelů, což mohlo být zapříčiněno při tuhnutí taveniny smrštěním. Též tvarová přesnost výsledných odlitrků byla vyhovující. Nezaběhnutí, které vykazovaly odlity bylo zapříčiněno snížením prodyšnosti formy v malých průřezech a snížením metalostatického tlaku, s ohledem na umístění modelů na stromečku.

## 10. ZÁVĚR

Výsledky a poznatky uvedené v této práci doplňují již dříve uvedené a citované práce a mohou přispět k dalšímu poloprovoznímu ověřování kombinovaných skořepinových forem pro výrobu odliatků ze slitin hliníku.

V závěru mé diplomové práce bych chtěl vyjádřit poděkování vedoucímu diplomové práce

Doc.Ing. Z.Holubcovi a pracovníkům  
katedry strojírenské metalurgie  
paní Evě Pokorné  
panu Jaroslavu Vorlovi za poskytnutou  
pomoc při řešení této práce.  
Též děkuji Ing.J.Cilečkovi a dalším pracovníkům  
slévárny přesného lití a.s. MESIT -Uherské Hradiště  
za poskytnuté poznatky a materiální pomoc při  
provádění vlastní diplomové práce.

V Liberci dne 27.5.1992

Petr Rakus



11. SEZNAM POUŽITÉ LITERATURY

1. DOŠKÁŘ, J.-KAŠTÁNEK, O.: Přesné lití -Výroba přesných odliků metodou vytaviteleho modelu.  
Praha, 1961
2. DOŠKÁŘ, J. a kol.: Výroba přesných odliků.  
Praha, 1976
3. ŠKLENÍK, J.I. a kol.: Litjo po vyplavljajemym modeljam.  
Moskva, 1984
4. HOLUBEC, Z.: Možnosti výroby odliků z Al slitin v kombinovaných skořepinových formách na bázi lupku a sádry.  
VŠST, Liberec 1991
5. CILEČEK, J. a kol.: Přesné lití hliníkových slitin metodou vytaviteleho modelu.  
Zpráva MESIT - Uherské Hradiště, 1989
6. HOLEČEK, P.: [Diplomová práce]  
VŠST, 1991
7. STROČENKO, A.A. - ZACHARČENKO, E.V.: Keramičeskije formy v točnom litje po postojanym modeljam.  
Moskva, 1988
8. BUDSKÝ, T.: Studium tuhnutí odliků ze slitin hliníku v kombinovaných skořepinových formách na bázi lupku a sádry.  
[Diplomová práce] VŠST, Liberec 1992